

## 3) Stabilität der Thurmdächer.

Durch die Windbelastung werden die Sparren an der Windseite auf Zug, diejenigen an der Unterwindseite auf Druck beansprucht; durch das Eigengewicht erhalten alle Sparren Druck. Wenn der in dem Sparren mögliche grösste Zug in Folge des Winddruckes grösser ist, als der durch das Eigengewicht erzeugte Druck, so ist Gleichgewicht nur möglich, wenn auf den Sparren Seitens des Auflagers ein Zug ausgeübt wird, welcher wenigstens so gross ist, wie der grösste im Sparren herrschende resultirende Zug. Dieser Zug Seitens des Auflagers wird durch Verankerung der Sparren mit dem Thurmmauerwerk erzeugt, und es muss das Gewicht des an den Anker gehängten Mauerwerkes, welches als Zug auf den Sparren wirkt, wenigstens so gross sein, wie der grösstmögliche Zug in demselben. Es empfiehlt sich, die Verankerung weiter hinabzuführen, etwa so weit, dass das Mauergewicht doppelt so gross ist, als der grösste Zug im Sparren.

## Literatur.

Bücher über »Statik der Dachstuhl«.

- UNWIN, W. *Wrought-iron bridges and roofs etc.* London 1870.  
 CORDIER, E. *Equilibre stable des charpentes en fer, bois et fonte.* Paris 1872.  
 RITTER, Dr. A. *Elementare Theorie und Berechnung eiserner Dach- und Brücken-Constructionen.* 3. Aufl. Hannover 1873.  
 FABRÉ, V. *Théorie des charpentes, donnant des règles pratiques pour la construction des fermes et autres appareils en bois et en fonte.* Paris 1873.  
 CARGILL, Th. *The strains upon bridge girders and roof trusses etc.* London 1873.  
 SHREVE, S. *A treatise on the strength of bridges and roofs etc.* New-York 1873.  
 TETMAJER, L. *Die äusseren und inneren Kräfte an statisch bestimmten Brücken- und Dachstuhl-Constructionen.* Zürich 1875.  
 NICOUR, Ch. *Calcul d'un comble en fer du système Polonceau.* Paris 1875.  
 SCHWEDLER, W. *Die Construction der Kuppeldächer.* 2. Aufl. Berlin 1878.  
 TRÉLAT, E. *La rigidité dans les combles.* Paris 1878.  
 Deutsche bautechnische Taschenbibliothek. Heft 10: *Berechnung der Dachwerke.* Von W. Jeep. Leipzig 1876.

## 4. Abschnitt.

## Gewölbe.

469.  
Allgemeines.

Die Gewölbe sind aus einzelnen, mehr oder weniger keilförmig gestalteten Elementen zusammengesetzte Bauconstructionen, welche bei verticalen Belastungen schiefe Drücke auf die sie stützenden Constructionstheile ausüben. Indem wir die verschiedenen Gewölbearten hier als bekannt voraussetzen, bemerken wir, dass wir uns im vorliegenden Abschnitt hauptsächlich mit den Tonnen-, bezw. Kappengewölben, den Kreuzgewölben und den Kuppelgewölben beschäftigen werden, auf welche alle anderen Gewölbearten leicht zurückgeführt werden können.

Der allgemeinen theoretischen Untersuchung soll das Tonnen-, bezw. Kappengewölbe zu Grunde gelegt werden; dabei werden wir stets, falls nichts Anderes

bemerkt wird, ein Gewölbestück betrachten, dessen Dimension normal zur Bildfläche gleich der Einheit, also gleich  $1^m$  ist. Alsdann fällt die Kräfteebene mit der mittleren Verticalebene zusammen.

## I. Kapitel.

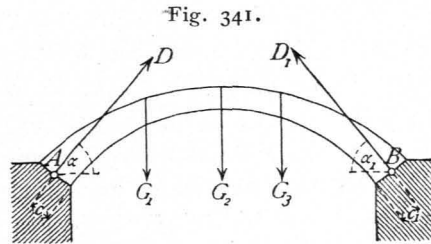
### Die Stützlinie und das Resultantenpolygon.

#### a) Allgemeines.

Für die Ermittlung der im Gewölbe auftretenden inneren Kräfte und die Stabilitätsuntersuchung desselben ist zunächst — genau wie bei den früher behandelten Bauconstructions — die Kenntniss der äusseren auf das Gewölbe wirkenden Kräfte nöthig, also der Belastungen und der Auflager-Reactionen. Die Belastungen sind in den meisten Fällen gegeben, bezw. aus den Tabellen in Art. 359, S. 318 leicht zu bestimmen. Schwieriger ist hier die Ermittlung der Auflager-Reactionen oder, wie sie hier heissen, der Kämpfer-Reactionen. Bei den bisherigen Constructions genügten zu deren Bestimmung die allgemeinen Gleichgewichtsbedingungen; hier ist dies nicht der Fall. Wird ein beliebiges Gewölbe (Fig. 341) betrachtet, so wird

470.  
Kämpfer-  
Reactionen.

bei jedem Auflager — hier Kämpfer genannt — auf das Gewölbe eine Anzahl von Kräften übertragen, deren Mittelkraft eben die gefuchte Kämpfer-Reaction ist; von diesen Kämpfer-Reactionen ist aber jederseits weder Grösse, noch Richtung, noch Angriffspunkt ( $A$ , bezw.  $B$ ) bekannt. Wir haben demnach in den Kämpfer-Reactionen 6 Unbekannte:  $D$ ,  $D_1$ ,  $\alpha$ ,  $\alpha_1$ ,  $c$ ,  $c_1$  (wenn  $c$  und  $c_1$  die Abstände der Punkte  $A$  und  $B$  von den inneren Laibungspunkten der Widerlager bezeichnen). Da die Statik vermittels der Gleichgewichtsbedingungen nur 3 Gleichungen zur Verfügung stellt, so ist die Ermittlung der Kämpfer-Reactionen auf rein statischem Wege nicht möglich. Die Lösung der Aufgabe wird möglich, wenn man das Gewölbe als elastischen Bogen auffasst und annimmt, dass bei den durch die Belastungen erfolgenden Deformationen die Widerlager und die anschließenden Bogenenden genau unveränderte Lage behalten. Diese mit der Wirklichkeit nahezu übereinstimmende Annahme giebt weitere 3 Gleichungen, so dass jetzt für die 6 Unbekannten 6 Gleichungen vorhanden sind, die Aufgabe also gelöst werden kann.

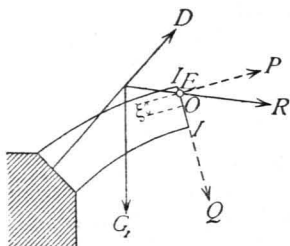


Wir werden sehen, dass für die einfachen Fälle des Hochbaues, bei denen fast stets eine ruhende Belastung in Frage kommt, die Elasticitätsgleichungen nicht aufgestellt zu werden brauchen. Vorläufig wollen wir annehmen, dass die Kämpfer-Reactionen nach Grösse, Richtung und Lage auf irgend welche Art gefunden und bekannt seien.

Ist Letzteres der Fall, so sind alle äusseren, auf das Gewölbe wirkenden Kräfte bekannt; es können demnach für irgend einen beliebigen, normal zur Bildebene genommenen Querschnitt  $II$  (Fig. 342) des Gewölbes die sämtlichen äusseren Kräfte an der einen Seite desselben zu einer Resultirenden vereinigt werden.

471.  
Stützlinie.

Fig. 342.



Betrachtet man etwa denjenigen Gewölbetheil, welcher zwischen dem linken Widerlager und dem Querschnitt *II* liegt, so sei diese Resultirende gleich *R*. Damit Gleichgewicht vorhanden sei, müssen im Querschnitt *II* eine Anzahl innerer Kräfte wirken, deren Resultirende gleiche GröÙe, gleiche Richtung, gleichen Angriffspunkt und entgegengesetzten Sinn hat, wie die Kraft *R*. Mit der Kraft *R* kennen wir also auch die Resultirende der hier thätigen inneren Kräfte. Zerlegt man *R* in eine

Componente *P*, welche parallel ist zu der an die Bogenaxe im betrachteten Querschnitte gezogenen Tangente, und in eine zu ersterer normale Componente *Q*, so heißt die erstere die Axialkraft, die zweite die Transversalkraft (siehe Art. 295, S. 257). Die Transversalkraft ist für die hier zu betrachtenden Fälle von geringer Bedeutung; von wesentlicher Bedeutung dagegen ist GröÙe und Lage von *P*. Die durch die Axialkraft in den einzelnen Fasern des Querschnittes *II* erzeugten Druck-, bzw. Zugspannungen können ohne merkbaren Fehler nach den im Art. 296, S. 261 für gerade Balken berechneten Gleichungen bestimmt werden. Man erhält demnach die Spannung *N* in einer um *z* von der Mittellinie entfernten Fafer nach Gleichung 33. und 50.

$$N = \frac{P}{F} + \frac{Mz}{\mathcal{F}} = \frac{P}{F} \left( 1 + \frac{F \xi z}{\mathcal{F}} \right) \dots \dots \dots 358.$$

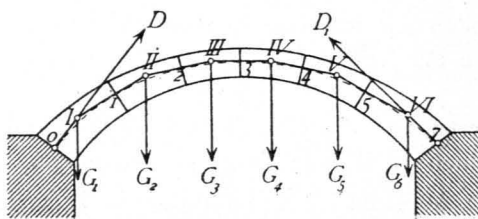
*M* ist das Moment der äußeren Kräfte für den Punkt *O*, d. h. für denjenigen Punkt, in welchem die Mittellinie des Gewölbes den Querschnitt *II* schneidet; es ist also hier  $M = P\xi$ , da *Q* in Bezug auf *O* kein Moment hat. Die positiven Werthe für *N* sind hier Druckbeanspruchungen; die negativen Werthe bedeuten Zug.

Von hervorragender Bedeutung für den Werth von *N* ist die GröÙe von  $\xi$  oder, was dasselbe ist, die Lage des Punktes *E*, des Schnittpunktes der Resultirenden *R* mit dem von ihr afficirten Querschnitte. Man hat deshalb für diese Punkte *E* eine besondere Bezeichnung eingeführt: die Stützlinie. Die Stützlinie ist die Verbindungslinie aller derjenigen Punkte, in denen die Gewölbequerschnitte von den auf sie wirkenden resultirenden Kräften geschnitten werden.

Den verschiedenen Belastungsarten entsprechen verschiedene Resultirende für die einzelnen Querschnitte; es folgt daraus, daß bei demselben Gewölbe jeder Belastungsart auch eine besondere Stützlinie entspricht.

Zerlegt man das Gewölbe in eine Anzahl von Theilen (Fig. 343), ermittelt die Kämpfer-Reactionen (*D* und *D*<sub>1</sub>), so wie die Belastungen der einzelnen Theile (*G*<sub>1</sub>, *G*<sub>2</sub>, *G*<sub>3</sub> ... *G*<sub>6</sub>) und setzt zunächst *D* mit der ersten Last *G*<sub>1</sub> zu einer Resultirenden zusammen, diese letztere mit *G*<sub>2</sub> und fährt so bis zum rechten Kämpfer fort, so erhält man ein Polygon *O III III IV V VI 7*,

Fig. 343.



welches man das Resultantenpolygon nennt. Aus dem Resultantenpolygon ergibt sich sofort die Stützlinie, wenn man die Schnittpunkte der einzelnen Resultanten mit den bezüglichen Querschnitten, d. h. die Punkte *o*, *1*, *2*, *3*, *4*, *5* und *7* mit einander verbindet. Je kleiner die einzelnen Theile des Ge-

472.  
Resultanten-  
polygon.

wölbes angenommen werden, desto mehr nähert sich das Resultantenpolygon einer continuirlich verlaufenden Curve, der fog. Seilcurve, die für diesen speciellen Fall identisch mit der Stützzlinie ist.

Die Form des Resultantenpolygons, so wie der Seilcurve ist von der Lage der Angriffspunkte der Reactionen  $D$  und  $D_1$  unabhängig. Denn, wenn man  $D$  um ein Stück verschiebt, dabei jedoch die frühere Gröfse und Richtung beibehält, so ergibt sich ein neues Polygon, welches mit dem alten identisch ist und nur um ein bestimmtes Stück höher oder tiefer liegt, als dieses. Handelt es sich demnach, wie häufig, nur um die Ermittlung der Form (nicht der Lage) der Seilcurve, so sind nur 4 Unbekannte:  $D, D_1, a, a_1$  vorhanden, mithin die Aufgabe bei Annahme einer dieser Unbekannten statisch zu lösen.

Die Ermittlung der Form und Lage der Stützzlinie auf statischem Wege setzt nach Obigem die Kenntniß der Kämpfer-Reactionen oder wenigstens dreier von den sechs Unbekannten voraus, welche die Kämpfer-Reactionen nach Gröfse, Richtung und Lage bestimmen; denn alsdann sind nur noch drei Unbekannte vorhanden, welche mit Hilfe der Statik ermittelt werden können. Mit Hilfe der Elasticitätstheorie der Gewölbe hat *Winkler* folgenden wichtigen Satz gefunden, den wir hier nur angeben wollen, wegen des Beweises auf unten stehende Quellen<sup>170)</sup> verweisend.

Bei constantem Querschnitt ist unter allen statisch möglichen Stützzlinien nahezu diejenige die richtige, welche sich der Bogenaxe durchschnittlich am meisten nähert, wenn man das Wort »durchschnittlich« im Sinne der Methode der kleinsten Quadratsummen deutet. Es ist also diejenige Stützzlinie nahezu die richtige, für welche die Summe der Quadrate der Abweichungen von der Bogenaxe ein Minimum ist. Läßt sich demnach eine Stützzlinie construiren, welche mit der Mittellinie des Gewölbes zusammenfällt, so wird diese die richtige sein.

Man construire also die Mittellinie des Bogens derart, daß sie für die gegebene Belastung mit der unter gewissen Annahmen construirten Seilcurve übereinstimmt; alsdann ist diese Mittellinie die richtige Stützzlinie — natürlich nur für die angenommene Belastung. Da es sich aber im Hochbau meistens um constante Belastungen handelt, so ist diese Ermittlung in der Regel genügend.

Wir werden ferner weiter unten sehen, daß es in vielen Fällen, in denen die Auffuchung der genauen Stützzlinie schwierig ist, genügt, gewisse Grenzlagen der Stützzlinie zu ermitteln; da aber die Stützzlinie leicht aus dem Resultantenpolygon construirt werden kann, so wird für alle diese Fälle zunächst das Resultantenpolygon aufgefucht.

### b) Seilcurve und Resultantenpolygon.

Aus der Erklärung des Begriffes der Seilcurve geht hervor, daß an jeder Stelle die Tangente an die Seilcurve mit der auf dieselbe wirkenden Resultanten gleiche Richtung hat. Um nun die Gleichung der Seilcurve aufzustellen, betrachten wir ein Bogenstück von der Länge  $ds$  (Fig. 344). Wir nehmen die Belastungen vertical und pro Längeneinheit der Horizontalprojection gleich  $q$

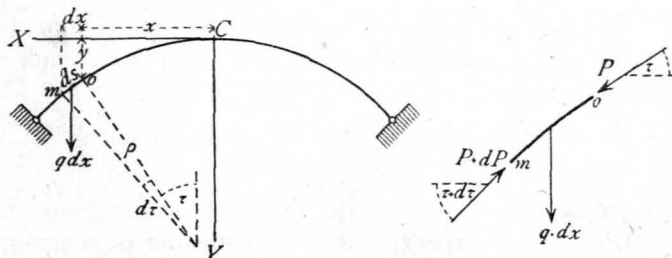


Fig. 344.

473.  
Ergebnisse  
d. Elasticitäts-  
theorie.

474.  
Gleichung  
der  
Seilcurve.

<sup>170)</sup> Winkler, E. Beitrag zur Theorie der Bogenträger. Zeitfchr. d. Arch.- u. Ing.-Ver. zu Hannover. 1879, S. 199. Lage der Stützzlinie im Gewölbe. Deutsche Bauz. 1879, S. 117 u. 127.

an, wobei  $q$  allgemein variabel ist. Alsdann wirken auf das Bogenstück  $mo$  von der Länge  $ds$  drei Kräfte: die Last  $q dx$  und die beiden Tangentialkräfte  $P$ , bzw.  $P + dP$ . Das Bogenstück ist unter Einwirkung dieser Kräfte im Gleichgewicht; mithin findet statt

$$0 = P \cos \tau - (P + dP) \cos (\tau + d\tau).$$

Führt man die Multiplication durch und läßt man die unendlich kleinen Glieder zweiter Ordnung fort, so wird  $0 = dP \cos \tau - P \sin \tau d\tau = d(P \cos \tau)$ , d. h.  $P \cos \tau$  ist eine Constante. Nun ist  $P \cos \tau$  die Horizontalcomponente der Bogenspannung an beliebiger Stelle; wir bezeichnen dieselbe mit  $H$ ; alsdann ist

$$P \cos \tau = H, \dots \dots \dots 359.$$

und es heißt das gefundene Gesetz: Bei verticaler Belaftung ist die Horizontalcomponente der Bogenspannung constant. Man nennt  $H$  den Horizontal Schub des Gewölbes.

Die zweite Gleichgewichtsbedingung ergibt

$$0 = q dx + P \sin \tau - (P + dP) \sin (\tau + d\tau),$$

und man findet in gleicher Weise, wie oben

$$0 = q dx - d(P \sin \tau) \text{ oder } d(P \sin \tau) = q dx.$$

Nach Gleichung 359. ist jedoch  $P = \frac{H}{\cos \tau}$ , also

$$d(H \operatorname{tg} \tau) = q dx = d\left(H \frac{dy}{dx}\right) = H \frac{d^2 y}{dx^2};$$

daher

$$q = H \frac{d^2 y}{dx^2} \text{ und } \frac{d^2 y}{dx^2} = \frac{q}{H} \dots \dots \dots 360.$$

Ist die Function  $q$  gegeben, so erhält man durch zweimalige Integration die Gleichung der Seilcurve.

In vielen Fällen ist eine andere Form dieser Gleichung bequemer. Nennt man den Krümmungsradius der Seilcurve an der betrachteten Stelle  $\rho$ , so ist nach Fig. 344  $ds = \rho d\tau$ ; ferner ist

$$\frac{q}{H} = d \frac{\frac{dy}{dx}}{\frac{dx}{dx}} = d \frac{\operatorname{tg} \tau}{\cos^2 \tau} = \frac{d \tau}{\cos^2 \tau}, \text{ d. h. } \frac{q}{H} dx = \frac{d \tau}{\cos^2 \tau} \text{ und } \cos \tau = \frac{dx}{ds},$$

d. h.  $dx = ds \cos \tau = \rho d\tau \cos \tau$ . Wird dieser Werth von  $dx$  in die Gleichung für  $\frac{q}{H} dx$  eingeführt, so ergibt sich

$$\frac{q}{H} \rho d\tau \cos \tau = \frac{d \tau}{\cos^2 \tau} \text{ und } \rho = \frac{H}{q \cos^3 \tau} \dots \dots \dots 361.$$

Für gegebene Werthe von  $q$ , für ein angenommenes  $H$ , erhält man demnach die den verschiedenen Werthen von  $\tau$  entsprechenden Krümmungsradien durch Gleichung 361.

Im Scheitel der Curve sei  $q = q_0$ ,  $\rho = \rho_0$ ; alsdann wird, da  $\tau_0 = 0$  ist,

$$\rho_0 = \frac{H}{q_0}, \text{ woraus } H = q_0 \rho_0 \dots \dots \dots 362.$$

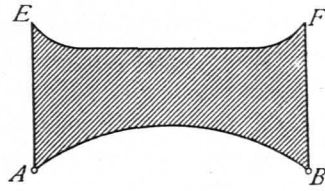
Die constante Horizontalcomponente der Bogenspannungen ist also das Product aus der Belaftung pro Längeneinheit der Horizontalprojection im Scheitel multiplicirt mit dem Krümmungsradius der Seilcurve im Scheitel.

Wird der Werth für  $H$  aus Gleichung 362. in Gleichung 361. eingesetzt, so wird

$$\rho = \frac{q_0 \rho_0}{q \cos^3 \tau} \quad \text{und} \quad \frac{\rho}{\rho_0} = \frac{q_0}{q \cos^3 \tau} \quad \dots \quad 362_a.$$

Gewöhnlich stellt man die Belaftung des Bogens durch verticale Streifen von gleichem specifischem Gewichte dar, so dafs also die verschiedenen Belaftungen der einzelnen Stellen durch verschieden hohe Streifen repräsentirt werden. Man erhält so eine Fläche, deren untere Begrenzung die Seilcurve, deren obere Begrenzung die durch die Endpunkte der Streifen gelegte Linie ist. Diese (in Fig. 345 schraffierte) Fläche wird die Belaftungsfläche, die obere Grenzlinie die Belaftungslinie genannt.

Fig. 345.



Die Differentialgleichung der Seilcurve  $\frac{d^2 y}{dx^2} = \frac{q}{H}$  ergibt bei gegebener Belaftung, also bei gegebener Function  $q$ , durch einmalige Integration den Ausdruck  $\frac{dy}{dx} = \frac{1}{H} \int q dx + C$  und durch wiederholte Integration

$$y = \frac{1}{H} \int dx \int q dx + Cx + C_1.$$

In dieser Gleichung sind drei Constante  $H$ ,  $C$  und  $C_1$ , deren Annahme den Verlauf und die Lage der Seilcurve bestimmt.

Handelt es sich nur um die Form der Seilcurve, nicht um deren Lage, so kann man zwei Constante beliebig annehmen, da diese ja nur die Lage der Seilcurve beeinflussen. So kann man etwa  $C = C_1 = 0$  annehmen und erhält als Gleichung der Seilcurvenform  $y = \frac{1}{H} \int dx \int q dx$ ; dieselbe giebt Aufschluss über die gegenseitige Lage der Curvenpunkte, nicht aber darüber, an welcher Stelle die Curve liegt.

Da es uns vorläufig nur auf die Form der Seilcurve ankommt, so werden wir zunächst nur zwei Punkte der Seilcurve, nämlich die Kämpferpunkte vorschreiben, und zwar sollen dieselben in gleicher Höhe liegen; damit sind zwei Constante angenommen. Alsdann ist für symmetrisch zu einer Verticalaxe angeordnete Belaftung die Seilcurve gleichfalls zu dieser Axe symmetrisch; die letztere wird am besten als  $Y$ -Axe gewählt.

Hier sind nun hauptsächlich zwei Aufgaben zu lösen. Einmal, wenn die Belaftungslinie gegeben ist, die zugehörige Seilcurve zu ermitteln, sodann für eine gegebene Bogenform die zugehörige Belaftungslinie zu finden. Was die erst erwähnte Aufgabe anlangt, so ist dieselbe meistens in bestimmterer Form so gestellt, dafs die obere Grenzlinie der Belaftungsfläche eine gerade horizontale Linie oder aus zwei geraden Linien zusammengesetzt ist und die Seilcurve gesucht wird. Da diese Aufgabe eine etwas umständliche Rechnung erfordert, im Hochbau auch wohl in dieser Form nur ausnahmsweise gestellt wird und wir die graphische Ermittlung der Seilcurve für diesen Fall zeigen werden, so können wir uns mit der Angabe der Quellen<sup>171)</sup>, in welchen das Nähere darüber nachgesehen werden kann, begnügen.

<sup>171)</sup> Schwedler, J. W. Theorie der Stützlinie. Ein Beitrag zur Form und Stärke gewölbter Bögen. Zeitschr. f. Bauw. 1859, S. 109.

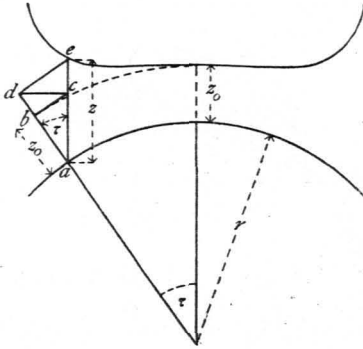
Ritter, A. Lehrbuch der Ingenieur-Mechanik. Hannover 1876. S. 335.

Die zweite Aufgabe werden wir im folgenden Artikel behandeln, indem wir für den wichtigsten Fall der Praxis, für den Kreisbogen die Belastungslinie auffuchen.

475.  
Belastungs-  
linie für  
Kreisgewölbe.

Beim Kreise ist der Krümmungsradius constant, d. h.  $\rho = \rho_0 = r$ ; mithin übergeht die Gleichung 362<sub>a</sub> der Seilcurve in  $q = \frac{q_0}{\cos^3 \tau}$ . Um in der Gleichung

Fig. 346.



nur geometrische Gröfsen zu behalten, nennen wir die Höhen der Belastungsfläche im Scheitel, bzw. an einer beliebigen Stelle, die dem Centriwinkel  $\tau$  entspricht,  $z_0$ , bzw.  $z$  (Fig. 346); alsdann ist, wenn  $\gamma$  das specifische Gewicht des Belastungsmaterials bedeutet,  $q_0 = \gamma z_0$ ,  $q = \gamma z$ ,  $\gamma z = \frac{\gamma z_0}{\cos^3 \tau}$  und

$$z = \frac{z_0}{\cos^3 \tau} \dots \dots \dots 363.$$

Gleichung 363. ist die Gleichung der Belastungslinie für den Kreis als Bogenaxe. Für  $\tau = 0$  wird  $z = z_0$ , entsprechend der Annahme;

für  $\tau = 90^\circ$  wird  $z = \frac{z_0}{0} = \infty$ ; demnach würde dem Halbkreis als Seilcurve am Widerlager eine unendlich grofse Belastungshöhe entsprechen, mit anderen Worten: eine halbkreisförmige Seilcurve existirt nicht.

Die Gleichung 363. giebt ein bequemes Mittel an die Hand, die Belastungslinie für den Kreisbogen zu construire. Um die dem Punkte  $a$  entsprechende Belastungshöhe  $z$  zu erhalten, trage man die gegebene Scheitelbelastungshöhe  $z_0 = \overline{ab}$  in der Richtung des Radius ab, ziehe durch  $a$  eine Verticale und durch  $b$  die Normale zum Radius, welche die erwähnte Verticale in  $c$  schneidet, ferner durch  $c$  eine Horizontale  $cd$  und durch  $d$  eine Normale  $de$  zum Radius; alsdann ist  $\overline{ae} = z$ . Denn es ist

$$\overline{ac} = \frac{\overline{ab}}{\cos \tau}, \quad \overline{ad} = \frac{\overline{ab}}{\cos^2 \tau}, \quad \overline{ae} = \frac{\overline{ab}}{\cos^3 \tau} = \frac{z_0}{\cos^3 \tau}.$$

Wie man sieht, ist der Verlauf der Belastungslinie von der angenommenen, resp. gegebenen Gröfse  $z_0$  und der Gröfse des Radius abhängig. Man hat für das Verhältnifs  $\frac{r}{z_0}$  eine befondere Bezeichnung eingeführt und nennt diesen Quotienten den Modulus. Bei kleinen Belastungshöhen im Scheitel, etwa für  $\frac{r}{z_0} = 10$ , läuft die Belastungslinie bis zu einem Centriwinkel von etwa 30 Grad jederseits nahezu concentrisch mit dem Kreisbogen; bei gröfserer Belastungshöhe, etwa für  $\frac{r}{z_0} = 3$ , ist sie in der Mitte bis zu einem Centriwinkel von beiläufig 30 Grad jederseits nahezu horizontal. Für eine oben gerade abgegrenzte Belastung, bei welcher  $\frac{r}{z_0}$  nahezu gleich 3 ist, kann also der flache Stichbogen als Seilcurve betrachtet werden.

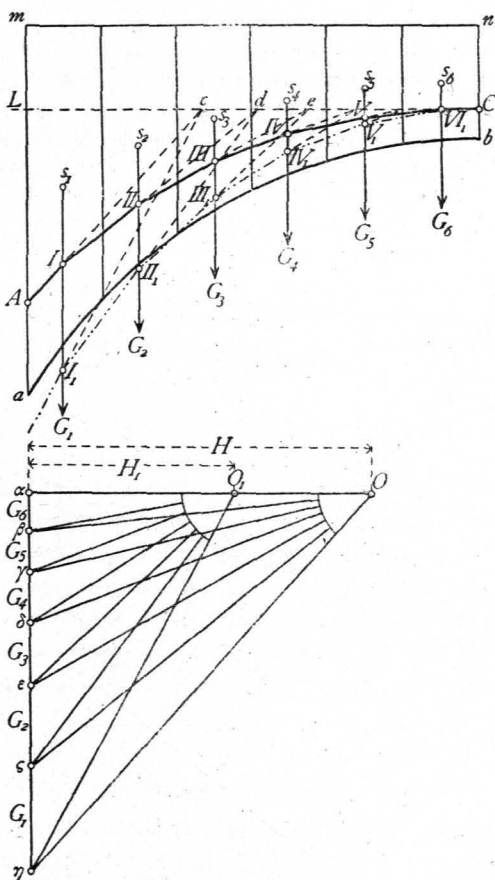
476.  
Construction  
der  
Seilcurve.

Die Seilcurve, bzw. das Resultantenpolygon ist nach Art. 474, S. 443 genau bestimmt, wenn drei Elemente für den Verlauf gegeben sind; alsdann ist also auch eine graphische Lösung der Aufgabe, d. h. eine Construction der Seilcurve möglich. Als diese drei Elemente werden gewöhnlich drei Punkte angenommen, durch welche die Seilcurve verlaufen soll; statt dessen kann auch Gröfse, Richtung und Angriffspunkt einer Kämpfer-Reaction oder auch der Mittelkraft an beliebiger Stelle des Bogens angenommen werden. Wir werden weiter unten sehen, dafs die Annahme dreier Punkte, zweier in den Kämpfern und eines im Verlaufe der Curve, für viele

Fälle zweckmäÙig ist. Deshalb werden wir hier die Construction des Resultantenpolygons, welches durch drei vorgegebene Punkte geht, zeigen; aus dem Resultantenpolygon ergibt sich dann leicht die Seilcurve, bezw. Stützlinie.

Bei einem zu einer Verticalaxe symmetrischen Bogen mit symmetrisch zu dieser Axe disponirter Belastung (Fig. 347) ist die Seilcurve nach Art. 474, S. 443 symmetrisch zu dieser Axe, also bei continuirlichem Verlauf der Curve in der Mitte horizontal. Deshalb genügt die Verzeichnung nur einer Hälfte derselben; für diese Hälfte sind die drei angenommenen Elemente: die beiden vorgegebenen Punkte  $C$  und  $A$  und die für den Scheitel vorgegebene horizontale Richtung der Seilcurve. Die Belastungsfläche sei  $abnm$ , und es solle das Resultantenpolygon durch  $A$  und  $C$  gehen, ferner in  $C$  horizontal sein.

Fig. 347.

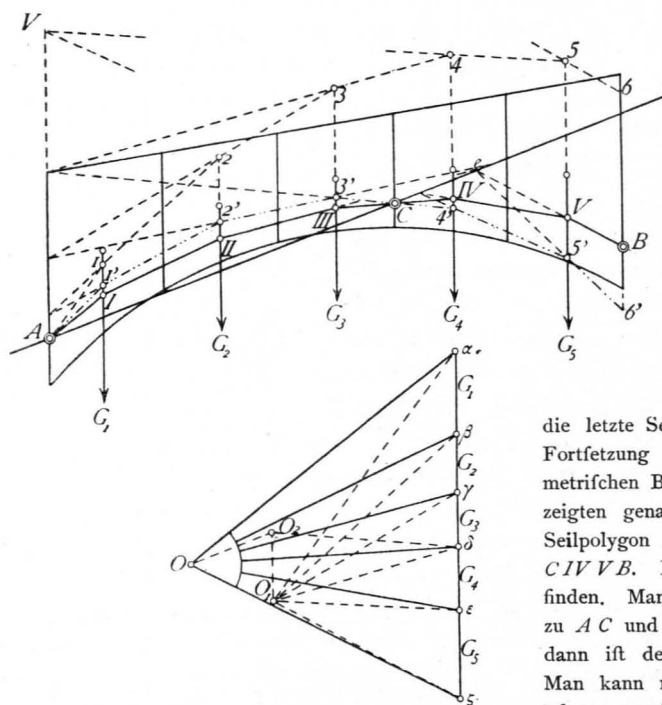


Man zerlege nun die Belastungsfläche in eine Anzahl verticaler Lamellen, deren Gewichte  $G_6, G_5, G_4 \dots G_1$  leicht durch Multiplication der Flächengrößen der einzelnen Lamellen mit der (normal zur Bildfläche gedachten) Einheit und dem specifischen Gewichte der Belastung ermittelt werden. Diese Gewichte haben ihre Angriffspunkte in den Schwerpunkten  $s_6, s_5 \dots s_1$  der einzelnen Lamellen. Die Gewichte  $G_6, G_5, G_4 \dots G_1$  werden nun zu einem Kraftpolygon  $\alpha\beta\gamma \dots \eta$  an einander getragen und die im Punkte  $C$  wirkende Horizontalkraft zunächst beliebig mit  $H_1 = O_1\alpha$  angenommen; die Zusammenfetzung derselben mit  $G_6$  ergibt als Resultirende  $O_1\beta$ , welche Kraft durch den Schnittpunkt  $VI_1$  von  $H_1$  und  $G_6$  geht. Die weitere Zusammenfetzung dieser und der folgenden Resultanten mit  $G_5, G_4 \dots$  ergibt das Polygon  $VI_1 V_1 IV_1 III_1 II_1 I_1$ , welches in Fig. 347 strichpunktirt ist. Dasselbe wird allgemein nicht durch  $A$  gehen, ist also noch nicht das richtige Resultantenpolygon. Um dasselbe aus dem verzeichneten zu finden, benutzen wir, da das Resultantenpolygon ein Seilpolygon ist, den in Art. 269, S. 240 bewiesenen Satz VII. Es liegen hier, da die Resultante in  $C$  horizontal ist, die zwei Pole, fowohl der zum richtigen, wie der zum unrichtigen Resultantenpolygon gehörige, auf der durch  $\alpha$  gezogenen Horizontalen; die Verbindungslinie beider Pole ist also eine Horizontale; beide Resultantenpolygone gehen durch  $C$ . In diesem Punkte schneiden sich also die beiden ersten Seilpolygonseiten. Alle gleichvielten Seilpolygonseiten schneiden sich demnach auf einer durch  $C$  gelegten Horizontalen  $CL$ . Die auf  $G_1$  folgende Seite des richtigen Resultantenpolygons geht nach der Annahme durch  $A$ ; außerdem durch den Punkt  $c$ , in welchem die auf  $G_1$  folgende Seite des unrichtigen Polygons die Linie  $CL$  schneidet. Die Verbindungslinie  $Ac$  ergibt also die richtige Seite. Dieselbe ist bis zur Verticalen von  $G_1$  ausgezogen. Die Seilpolygonseite zwischen  $G_1$  und  $G_2$  geht einmal durch  $I$ , ferner nach obigem Satze durch  $d$ , ist also  $IId$ . In dieser Weise erhält man das richtige Resultantenpolygon  $AIIIIIIVVVI_1C$ . Der zugehörige Werth von  $H$  wird erhalten, indem man durch  $\eta$  eine Linie parallel zu  $Ac$  zieht und den Schnittpunkt  $O$  derselben mit der durch  $\alpha$  gehenden Horizontalen auffucht. Es wird  $O\alpha = H$ ;  $O$  ist außerdem der Pol des Resultantenpolygons. Die Größen der einzelnen Resultanten werden durch die Strahlen  $O\alpha, O\beta, O\gamma \dots$  dargestellt.

Bei einem beliebig gestalteten Bogen mit beliebiger Belaftung (Fig. 348) genügt die Unterfuchung einer Hälfte nicht; vielmehr ist alsdann der ganze Bogen zu betrachten. Das Resultantenpolygon, welches durch drei vorgeschriebene Punkte verläuft, ergibt sich alsdann, wie folgt.

Die Lasten seien  $G_1, G_2, G_3, G_4, G_5$ ; alsdann wird zunächst das Kraftpolygon  $\alpha\beta\gamma\delta\epsilon\zeta$  und für einen beliebig angenommenen Pol  $O_1$  ein Seilpolygon construiert, welches letztere durch einen der gegebenen Punkte, etwa  $A$  gehen möge ( $A123456$ ). Allgemein wird dasselbe nicht durch die beiden anderen vorgeschriebenen Punkte  $B$  und  $C$  gehen, ist also noch nicht das richtige. Wir construiert nun zunächst ein zweites Seilpolygon, welches durch  $A$  und  $C$  geht, indem wir einen neuen Pol  $O_2$  annehmen, durch  $A$  eine Linie parallel zu  $O_1O_2$  ziehen und nun dieses Seilpolygon nach dem Satze VII des Art. 269, S. 240 ermitteln. Der Einfachheit halber nehmen wir den Pol  $O_2$  in der gleichen Verticalen mit  $O_1$  an; alsdann ist die Schnittlinie der gleichvielten Seiten des bereits construierten und des gefuchten Seilpolygons die durch  $A$  gelegte Verticale  $AV$ . Man erhält, indem man zunächst diejenige Seite des neuen Seilpolygons ermittelt, welche durch  $C$  geht, das strichpunktirte Seilpolygon  $A1'2'3'4'5'6'$ , welches durch  $A$  und  $C$ , aber nicht durch  $B$  geht. Das endgültig richtige Seilpolygon geht nun jeden-

Fig. 348.



falls durch  $A$  und  $C$ ; die gleichvielten Seiten des richtigen und des strichpunktirten Polygons schneiden sich auf einer Linie, welche der Verbindungslinie des richtigen Poles mit dem Pol  $O_2$  parallel ist. Diese Linie geht jedenfalls durch  $A$ , weil sich in  $A$  zwei gleichvielte Seilpolygonseiten schneiden, und aus gleichem Grunde durch  $C$ ; mithin ist  $AC$  diese Linie. Man ziehe also  $AC$ , ermittle den Schnittpunkt der auf die letzte Last  $G_5$  folgenden Seite des strichpunktirten Seilpolygons mit  $AC$ , d. h.  $e$ , verbinde  $e$  mit  $B$ ; alsdann ist  $eB$

die letzte Seite des richtigen Seilpolygons. Die Fortsetzung der Construction ist der für symmetrischen Bogen und symmetrische Belaftung gezeigten genau analog und ergibt das richtige Seilpolygon oder Resultantenpolygon  $A1''1'''2'''3'''4'''5'''6'''$ . Der richtige Pol  $O$  ist nun leicht zu finden. Man ziehe durch  $O_2$  eine Linie parallel zu  $AC$  und durch  $\zeta$  eine Parallele zu  $Be$ ; alsdann ist der Schnittpunkt beider der Punkt  $O$ . Man kann natürlich auch sofort nach der Ermittlung von  $Be$  diesen Pol auffuchen und dann das

Resultantenpolygon in gewöhnlicher Weise construiert, wobei die erste Seite durch  $A$  gelegt wird.

Betreff der praktischen Construction ist noch Folgendes zu beachten. Die Belaftung wird durch eine Fläche von an allen Stellen gleichem spezifischem Gewichte dargestellt. Die gegebenen Belaftungen haben aber nicht das gleiche spezifische Gewicht, müssen deshalb auf dasselbe spezifische Gewicht, am bequemsten auf dasjenige des Wölbmaterials reducirt werden; man ersetzt also die Lasten durch eben so schwere Mauerwerkskörper.

## 2. Kapitel.

## Tonnen- und Kappengewölbe.

Die Zerstörung des Gewölbes kann erfolgen:

- 1) durch Umkanten eines Gewölbetheiles um eine innere oder äußere Kante,
- 2) durch Gleiten einzelner Gewölbetheile längs der Fugen und
- 3) durch Zerdrücken der Wölbsteine.

477-  
Stabilität.

Wenn die Lage der Stützlinie bekannt ist, so können alle auf die Stabilität des Gewölbes bezügliche Fragen leicht beantwortet werden. Die wirkliche Lage der Stützlinie ist aber nach Art. 470, S. 439 nur mittels der Elasticitätslehre zu ermitteln, und es ist diese Ermittlung sehr umständlich. Wir werden deshalb im vorliegenden Kapitel nur die Bedingungen der Stabilität der Gewölbe entwickeln und gewisse Grenzlagen ermitteln, zwischen denen die Stützlinie zu liegen hat.

Soll das Gewölbe (Fig. 349) stabil sein, so muß die Stützlinie ganz im Gewölbe liegen.

478-  
Stabilität  
gegen  
Kanten.

Wenn die Resultierende  $R$  aller an der einen Seite des Querschnittes  $NO$  wirkenden Kräfte die Verlängerung des Querschnittes etwa im Punkt  $b$  schneidet, so hat diese Kraft in Bezug auf  $O$  ein Moment  $M = Re$ , welches eine Drehung des oberhalb  $NO$  liegenden Gewölbetheiles um  $O$  erstrebt. Diese Drehung kann nur durch eine andere, entgegengesetzt drehende Kraft  $W$  (in Fig. 349 punktiert) mit gleich großem Momente in Bezug auf  $O$  aufgehoben werden, d. h. durch einen Zugwiderstand der Gewölbefasern. Die Wölbsteine können aber einen solchen, wenn von der Cohäsion des Mörtels abgesehen wird, nicht leisten, so daß also eine Kraft nicht existiert, welche das Gleichgewicht herstellen könnte. Der oberhalb der Fuge  $NO$  befindliche Gewölbetheil würde demnach um  $O$  kanten und einstürzen. Eine Aufhebung der Kraft  $R$  ist erst möglich, wenn dieselbe den Querschnitt  $NO$  schneidet; alsdann erzeugt sie in den einzelnen Fasern des Querschnittes Druckspannungen, welche  $R$  aufheben. Soll also das Gewölbe nicht um  $O$  kanten, so muß der Schnittpunkt der Resultierenden  $R$  mit dem Querschnitte, d. h. der Schnittpunkt der Stützlinie mit dem Querschnitte in das Gewölbe fallen. Was aber vom Querschnitt  $NO$  gilt, gilt von allen Querschnitten. Das Gewölbe ist also nur dann gegen Kanten stabil, wenn die Stützlinie ganz im Gewölbe liegt.

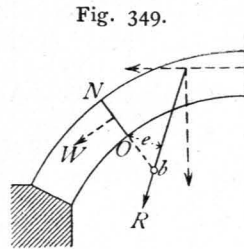


Fig. 349.

In Art. 318 bis 322, S. 273 bis 277 ist nachgewiesen worden, wie sich die axialen Fasernspannungen für Balken mit gerader Axe ergeben, falls auf dieselben Axialkräfte und Momente wirken. Mit für die Praxis hinreichender Genauigkeit können die dort gefundenen Formeln auch gebraucht werden, um die Spannungsvertheilung in den Gewölbefugen zu ermitteln. Die Spannung in einer Faser, welche um  $z$  von der normal zur Bildebene errichteten Schwerpunktsaxe des Querschnittes absteht, ist demnach nach Gleichung 50., bezw. 358.

479-  
Stabilität  
gegen  
Zerdrücken.

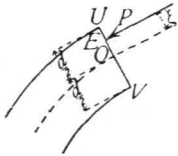
$$N = \frac{P}{F} \left( 1 + \frac{F \xi z}{\mathcal{I}} \right).$$

Hier handelt es sich nur um rechteckige Querschnitte von der Höhe  $d$  und der Breite 1 (normal zur Bildebene); mithin ist  $F = d \cdot 1$ ,  $\mathcal{I} = \frac{d^3}{12}$  und

$$N = \frac{P}{d} \left( 1 + \frac{12 \xi z}{d^2} \right) \dots \dots \dots 364.$$

Da  $P$  hier stets Druck ist und wir  $P$  als positiv einführen, so bedeuten die positiven Werthe von  $N$  Druck, die negativen Werthe Zug. Der grösste Druck  $N_{max}$  findet bei der in Fig. 350 gezeichneten Lage der Kraft  $N$  in der Fafer  $U$  statt, für welche  $z$

Fig. 350.



seinen grössten Werth  $\frac{d}{2}$  hat; der kleinste Druck  $N_{min}$  in der Fafer  $V$ , für welche  $z$  seinen kleinsten Werth  $-\frac{d}{2}$  hat; demnach wird

$$N_{max} = \frac{P}{d} \left( 1 + \frac{12 \xi d}{2 d^2} \right) = \frac{P}{d} \left( 1 + \frac{6 \xi}{d} \right) \quad \text{und} \quad N_{min} = \frac{P}{d} \left( 1 - \frac{6 \xi}{d} \right) \quad 365.$$

$N_{min}$  wird zu Null, wenn  $1 - \frac{6 \xi}{d} = 0$ , d. h. wenn  $\xi = \frac{d}{6}$  ist.

In der am wenigsten gedrückten Fafer  $V$  findet also die Spannung Null statt, wenn die Mittelkraft den Querschnitt in der Höhe  $\frac{d}{6}$  über der Mittellinie des Gewölbes schneidet. Schneidet die Kraft  $P$ , also die Stützlinie, den Querschnitt unterhalb  $O$ , so ergibt sich leicht aus Gleichung 364. (indem man  $-\xi$  statt  $+\xi$  einführt), dass der grösste Druck in der Fafer  $V$ , der grösste Zug in der Fafer  $U$  stattfindet. In  $U$  findet demnach die Spannung Null statt, wenn die Stützlinie den Querschnitt in dem Abstände  $\frac{d}{6}$  unterhalb der Schwerpunktsaxe schneidet.

$N_{max}$  und  $N_{min}$  haben gleiches Vorzeichen für diejenigen Werthe von  $\xi$ , für welche gleichzeitig stattfindet

$$1 + \frac{6 \xi}{d} > 0 \quad \text{und} \quad 1 - \frac{6 \xi}{d} > 0, \quad \text{d. h. für } \xi > -\frac{d}{6} \quad \text{und} \quad \xi < +\frac{d}{6}.$$

So lange also der Schnittpunkt der Resultirenden nicht weiter von der Gewölbemittellinie entfernt ist, als  $\frac{d}{6}$ , d. h. so lange der Schnittpunkt im inneren Gewölbedrittel liegt, haben  $N_{max}$  und  $N_{min}$  gleiches Vorzeichen, sind demnach  $N_{max}$  und  $N_{min}$  Druck; dann findet aber im ganzen Querschnitte nur Druck statt.

Ist dagegen  $\xi$  grösser als  $\frac{d}{6}$ , so findet in der am meisten gezogenen Fafer Zugbeanspruchung statt; dann gilt die Gleichung 358. für die Druckvertheilung nicht mehr, weil diese unter der Annahme einer Beanspruchung aller Fasern entwickelt worden ist; falls aber hier einzelne Fasern des Querschnittes auf Zug beansprucht werden, so findet entweder ein Klaffen der Fugen oder ein indifferentes Aneinanderliegen der Steine statt. Die dann geltenden Gleichungen sind in Art. 322, S. 275 entwickelt. Falls  $\xi$  grösser als  $\frac{d}{6}$  ist, mit anderen Worten, falls die Stützlinie einen Querschnitt ausserhalb des inneren Drittels schneidet, etwa im Abstände  $c$  von der zunächst gelegenen äusseren Fafer, so vertheilt sich nach Art. 322, S. 275 und 276 der Druck  $P$  auf eine Breite  $3c$ , wobei der Maximaldruck doppelt so gross ist, als wenn sich der Druck über die gedrückte Fläche gleichmässig vertheilt. Wir erhalten also  $N_{max} = \frac{2P}{3c}$  (Gleichung 56).

Wird die grösste, im Wölbmaterial zulässige Druckbeanspruchung pro Flächeneinheit mit  $K$  bezeichnet, so kann Gleichung 56. benutzt werden, um zu ermitteln, wie weit sich die Stützlinie der inneren oder äusseren Gewölbelaibung nähern darf. Man erhält als Bedingungsgleichung:

$$K = \frac{2P}{3c}, \text{ woraus } c = \frac{2P}{3K} \dots \dots \dots 366.$$

Damit haben wir die Bedingung für die Stabilität des Gewölbes gegen Zerdrücken gefunden: Soll das Gewölbe gegen Zerdrücken stabil sein, so darf einmal der Abstand der Stützlinie von den Gewölbelaibungen an keiner Stelle kleiner werden, als  $\frac{2P}{3K}$ , und ferner die Maximal-Druckbeanspruchung niemals grösser werden, als  $K$ .

Da  $P$  für die verschiedenen Gewölbestellen variabel ist, so ergeben sich für dieselben auch verschiedene Werthe von  $c$ . Meistens wird es jedoch genügen, den Maximalwerth von  $P$ , der sich an den Kämpfern ergibt, einzusetzen und dann den für  $c$  erhaltenen Werth im ganzen Gewölbe constant anzunehmen. Man kann in dieser Weise leicht die beiden Linien construiren, zwischen denen die Stützlinie verlaufen soll.

Die Forderung, dass in allen Fasern sämtlicher Querschnitte nur Druckbeanspruchung stattfinden soll, ist erfüllt, wenn sämtliche Querschnitte von ihren zugehörigen Resultanten im inneren Gewölbedrittel geschnitten werden, d. h. wenn die ganze Stützlinie im inneren Drittel verläuft.

Der Einsturz des Gewölbes kann endlich auch dadurch verursacht werden, dass ein Theil desselben längs des anderen gleitet. Es sei die Resultirende aller auf den Gewölbetheil oberhalb der Fuge  $UV$  (Fig. 351) wirkenden Kräfte gleich  $R$ ; alsdann ist Gleichgewicht nur möglich, wenn Seitens der Fuge eine genau gleich grosse und gleich gerichtete Kraft mit entgegengesetztem Sinne auf den betreffenden Gewölbetheil wirkt. Wir zerlegen  $R$  in eine Axialkraft  $P = R \cos \gamma$  und eine Transversalkraft  $T = R \sin \gamma$ . Die Axialkraft  $P$  wird, wenn ihr Schnittpunkt mit der Fuge nicht zu nahe an die Laibungen fällt, durch die normal zum Querschnitt gerichteten axialen Faseranspannungen, die Transversalkraft  $T$  wird durch den Reibungswiderstand an der Berührungsfläche  $UV$  aufgehoben.

Nennt man den Reibungscoefficienten  $f$ , so ist der Reibungswiderstand  $W = fP = fR \cos \gamma$ . Grösser kann  $W$  nicht werden; Gleichgewicht gegen Verschieben ist also nur möglich, wenn stattfindet:  $T \leq fR \cos \gamma$ , d. h.  $R \sin \gamma \leq fR \cos \gamma$  und  $\text{tg } \gamma \leq f$ .

Wird der Reibungswinkel mit  $\varphi$  bezeichnet, so ist  $f = \text{tg } \varphi$ , und es heisst alsdann die Bedingungsgleichung für das Gleichgewicht:

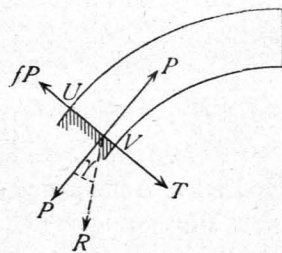
$$\text{tg } \gamma \leq \text{tg } \varphi \text{ oder } \gamma \leq \varphi \dots \dots \dots 366_a.$$

Sobald  $\gamma$  grösser wird, als der Reibungswinkel, kann  $T$  nicht aufgehoben werden, und es findet dann ein Abgleiten des betrachteten Gewölbetheiles statt.

Dieselbe Schlussfolgerung gilt auch, falls  $R$  um den Winkel  $\gamma$  nach oben von der Normalen zur Fuge abweicht; nur ist dann das Bestreben vorhanden, den oberen Gewölbetheil nach aussen zu verschieben. Was für die Fuge  $UV$  gilt, gilt für alle Fugen, so dass wir folgendes Gesetz ermittelt haben: Soll das Gewölbe gegen Gleiten stabil sein, so darf an keiner Stelle der Winkel, welchen das Resultanten-

480.  
Stabilität  
gegen  
Gleiten.

Fig. 351.



polygon mit der betreffenden Fugennormalen bildet, grösser sein, als der Reibungswinkel für die betreffenden Materialien.

In den meisten Fällen kann man ohne grossen Fehler statt des Resultantenpolygons die Stützzlinie einführen und als Bedingung für die Stabilität des Gewölbes angeben, dass die Tangente an die Stützzlinie nirgends einen Winkel mit der Fugennormalen macht, welcher grösser ist, als der Reibungswinkel.

Man kann den Reibungscoefficienten  $f$  zwischen 0,6 und 0,75 liegend annehmen, welchen Werthen die Winkel  $\varphi = 31$  bis 37 Grad entsprechen. Bei frischem Mörtel kann der Winkel  $\varphi$  bis auf 27 Grad hinabgehen ( $f$  bis auf 0,51). Die Tangenten an die Stützzlinie bilden aber nur selten so grosse Winkel mit den Fugennormalen, so dass, wenigstens im eigentlichen Gewölbe, die Stabilität gegen Gleiten selten in Frage kommt.

48r.  
Grenzlagen  
der  
Stützzlinie.

Nach Obigem giebt die Statik allein über die Lage der Stützzlinie im Gewölbe keine genaue Auskunft; wir werden nun zeigen, wie man ohne die Elasticitätsgleichungen dennoch die Stabilität des Gewölbes nachweisen kann. Dabei werden wir zunächst absolut festes Material voraussetzen.

Betrachtet man die eine Hälfte eines symmetrisch gestalteten und symmetrisch belasteten Gewölbes (Fig. 352), auf welche ausser der Belastung  $G$  noch der Horizontal Schub  $H$  im Scheitel wirkt, und

nimmt zunächst als Angriffspunkt von  $H$  den Punkt  $C$  beliebig und ausserdem an, dass die Stützzlinie die Kämpferfuge in  $A$  schneide, so geht die Resultirende von  $G$  und  $H$  durch  $A$ , hat also in Bezug auf den Drehpunkt  $A$  das statische Moment Null. Das statische Moment der Resultirenden ist aber gleich der algebraischen Summe der statischen Momente der Einzelkräfte  $H$  und  $G$ ; mithin ist

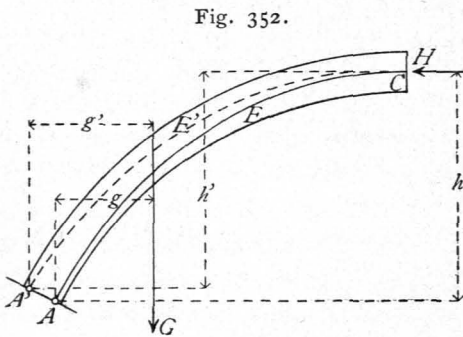


Fig. 352.

$$0 = Hh - Gg \quad \text{und} \quad H = \frac{Gg}{h}.$$

Diesen Annahmen entspricht eine ganz bestimmte Stützzlinie  $CEA$ , die in Fig. 352 ausgezogen ist.

Wählt man ein zweites Mal unter Beibehaltung des Punktes  $C$  als Schnittpunkt der Stützzlinie mit der Kämpferfuge den Punkt  $A'$ , so wird  $H' = \frac{Gg'}{h'}$ .

Diesen Annahmen entspricht etwa die punktirte Stützzlinie  $CE'A'$ . Da  $\frac{g'}{h'} > \frac{g}{h}$ , so ist  $H' > H$ .

Man sieht, einer Vergrößerung des Horizontalschubes entspricht ein Flacherwerden der Stützzlinie, und es ergibt sich in gleicher Weise, dass einer Verringerung von  $H$  ein Steilerwerden der Stützzlinie entspricht. Unter Beibehaltung des Punktes  $C$  als Scheitelpunkt der Stützzlinie ist nun offenbar eine grosse Anzahl von Stützzlinien möglich, welche sämtlich ganz im Gewölbe verlaufen, demnach mit der Stabilität desselben vereinbar sind. Dem kleinsten Werthe von  $H$  für  $C$  als Angriffspunkt entspricht diejenige dieser Stützzlinien, welche an irgend einer Stelle die innere Gewölbelaubung berührt ( $CF A$  in Fig. 353); denn eine weitere Verringerung

Fig. 353.

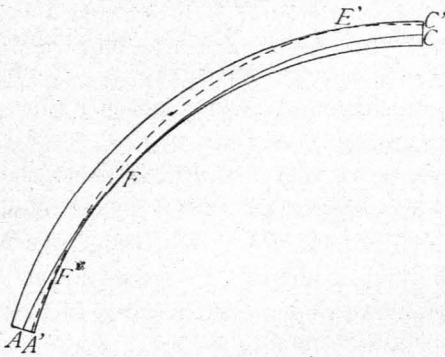
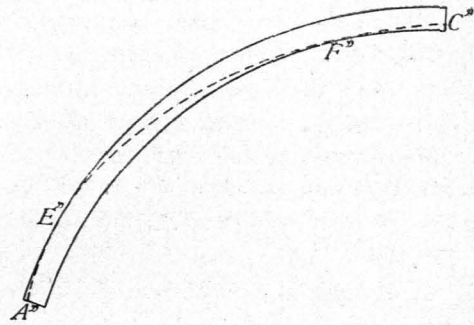


Fig. 354.



von  $H$  würde zur Folge haben, daß die Stützlinie bei  $F$  nach innen aus dem Gewölbe herausfiele. Nun kann aber jeder Punkt der Scheitelfuge Angriffspunkt der Kraft  $H$  sein; es steht also nichts im Wege, einen andern höheren Punkt der Scheitelfuge als Angriffspunkt von  $H$  anzunehmen, mithin die ganze Stützlinie um das entsprechende Stück parallel sich selbst nach oben zu verschieben. Jetzt kann der Horizontalschub weiter verringert werden, und zwar so weit, bis die Stützlinie gleichzeitig die äußere und die innere Laibung berührt. Diese Stützlinie sei etwa  $C'E'F'A'$ . Eine weitere Verringerung von  $H$  hat die Folge, daß die Stützlinie bei  $F'$  das Gewölbe verläßt; ein weiteres Hinauffchieben der Stützlinie ist auch nicht möglich, weil bei einem solchen — sollte es so weit fortgesetzt werden, daß bei  $F'$  die Stützlinie wieder in das Gewölbe fällt — bereits vorher die Stützlinie bei  $E'$  nach außerhalb des Gewölbes gefallen wäre.

Die gezeichnete Stützlinie  $C'E'F'A'$  entspricht also dem Minimum von  $H$  und heißt deshalb die Minimalstützlinie. Es ergibt sich demnach: Die Minimalstützlinie hat jederseits mit den Gewölbelaibungen zwei Punkte gemein, und zwar liegen die Berührungspunkte mit der äußeren Laibung über denjenigen mit der inneren Laibung.

Bei flachen Bogen fällt gewöhnlich der Berührungspunkt mit der äußeren Laibung in die Scheitelfuge, derjenige mit der inneren Laibung jederseits in die Kämpferfuge.

In gleicher Weise erhält man die Stützlinie, welche dem Maximum von  $H$  entspricht, die Maximalstützlinie ( $C''F''E''A''$  in Fig. 354). Die Maximalstützlinie hat jederseits des Scheitels mit den Gewölbelaibungen zwei Punkte gemein, und zwar liegen die Berührungspunkte mit der inneren Laibung über denjenigen mit der äußeren Laibung.

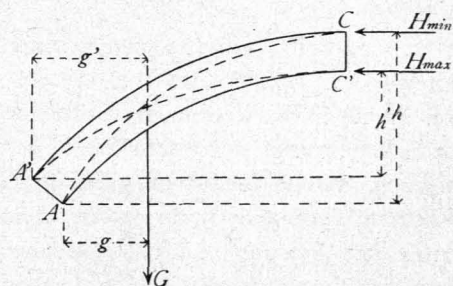
Bei flachen Bogen fallen die beiden Berührungspunkte mit der inneren Laibung in die Scheitelfuge, die Berührungspunkte mit der äußeren Laibung in die Kämpferfugen.

In Fig. 355 ist  $CA$  die Minimal-,  $C'A'$  die Maximalstützlinie. Die entsprechenden Werthe von  $H$  sind:

$$H_{min} = \frac{Gg}{h} \quad \text{und} \quad H_{max} = \frac{Gg'}{h'} \quad 367.$$

Wenn wir demnach auch die wirkliche

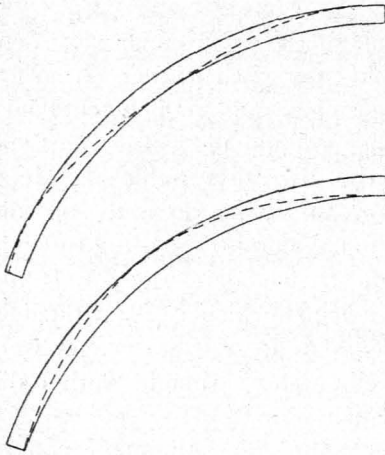
Fig. 355.



Lage der Stützlinie und die wirkliche GröÙe von  $H$  durch die Gleichgewichtsbedingungen allein nicht ermitteln können, so haben wir jetzt doch Grenzen sowohl für die Lage der Stützlinie, als auch für die GröÙe des Horizontalfehbes gefunden. Der Horizontalfehbe darf nicht gröÙer sein, als  $H_{max}$ , nicht kleiner als  $H_{min}$ .

Wenn das Gewölbe so schwach ist, daÙ Maximal- und Minimalstützlinie in eine Stützlinie zusammenfallen, so ist dieselbe die einzig mögliche Stützlinie; denn eine VergröÙerung von  $H$  darf nicht stattfinden, weil die Stützlinie eine Maximalstützlinie ist, eine Verringerung nicht, weil die Stützlinie eine Minimalstützlinie ist. In diesem Falle ist also die erwähnte Stützlinie, da sie die einzig mögliche, auch die richtige. Die geringste Aenderung von  $H$  hat den Einsturz des Gewölbes zur Folge. Wir nennen deshalb diesen Zustand den labilen Gleichgewichtszustand des Gewölbes. Derselbe findet für symmetrische Gewölbe und Belastung bei den in Fig. 356 gezeichneten Stützlinien statt,

Fig. 356.



d. h. wenn die Stützlinie jederseits mit den Laibungen drei Punkte gemeinfam hat, zwei mit der einen, einen mit der anderen Laibung.

Fallen dagegen Maximal- und Minimalstützlinie nicht zusammen, so ist eine Anzahl von Stützlinien möglich, welche solchen Werthen des Horizontalfehbes entsprechen, die zwischen  $H_{max}$  und  $H_{min}$  liegen. Je gröÙer die Differenz dieser beiden Werthe ist, desto mehr Stützlinien sind möglich, desto gröÙere Aenderung darf  $H$  erleiden, ehe das Gewölbe einstürzt, desto stabiler ist also das Gewölbe. Man kann demnach schließen: Ein Gewölbe ist stabil, wenn eine Maximal- und eine Minimalstützlinie möglich ist und beide nicht zusammenfallen. Die Stabilität ist um so gröÙer, je gröÙer die Unterschiede dieser beiden Stützlinien sind, bzw. je gröÙer die Differenz  $H_{max} - H_{min}$  ist. Um demnach die Stabilität eines Gewölbes gegen Umkanten nachzuweisen, genügt die Einzeichnung der Maximal- und Minimalstützlinie und die Untersuchung, ob dieselben zusammenfallen oder nicht.

482.  
Praktische  
Grenzlagen  
der  
Stützlinie.

Im vorhergehenden Artikel war absolut festes Material angenommen, und es konnte deshalb eine Berührung der Stützlinie und der Gewölbelaibung als möglich vorausgesetzt werden. In Wirklichkeit darf nach Art. 479, S. 447, die Stützlinie nicht näher an die Laibungen treten, als daÙ der Abstand noch  $c = \frac{2P}{3K}$  ist. Bei einer Berührung der Laibung durch die Stützlinie würde an dieser Stelle  $c = 0$ , und da nach Gleichung 56.  $N_{max} = \frac{2P}{3c}$  ist, hier  $N_{max} = \frac{2P}{0} = \infty$  sein.

Wir stellen deshalb die Bedingung, daÙ eine Maximal- und eine Minimalstützlinie möglich sei, welche wenigstens um  $\frac{2P}{3K}$  von den Gewöblalaibungen abstehen und daÙ diese beiden nicht zusammenfallen.

Wenn im inneren Drittel des Gewölbes, in der sog. Kernfläche, eine Maximal- und eine Minimalstützlinie möglich ist und beide nicht zusammenfallen, so ist dies noch günstiger.

Die Stabilität gegen Gleiten erfordert, daÙ die Tangente an die Stützlinie an keiner Stelle einen gröÙeren, als den Reibungswinkel mit der Fugennormalen mache. Dieser Bedingung müssen also auch die Maximal- und Minimalstützlinie genügen.

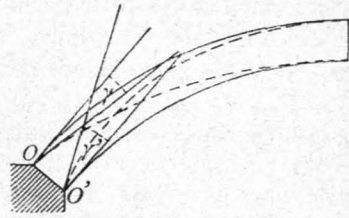
Wenn bei der nach den vorigen Artikeln konstruirten Maximalstützlinie in Fig. 357 der Winkel  $\gamma$  bei  $O$  gröÙer ist als  $\varphi$ , so wird man durch Verkleinern von  $H$  und damit zusammenhängendes Steilmachen der Stützlinie den Winkel  $\gamma$  so weit verringern, bis er gleich  $\varphi$  ist. Diejenige Stützlinie, bei

welcher an der ungünstigsten Stelle  $\gamma$  höchstens gleich  $\varphi$  ist, wird dann als Maximalstützlinie einzuführen sein. Eben so ist es möglich, daß die nach Art. 481, S. 450 construirte Minimalstützlinie an irgend einer Stelle um einen Winkel  $\gamma'$  von der Fugennormalen abweicht, welcher größer als  $\varphi$  ist (Fig. 357); alsdann ist  $H$  so weit zu vergrößern, bis die sich ergebende Stützlinie nirgends einen größeren Winkel mit der Fugennormalen bildet, als  $\varphi$ ; diese ist dann die Minimalstützlinie.

Aus den Entwicklungen der vorstehenden Artikel folgt, daß die statische Behandlung der Gewölbetheorie keine genauen Gleichungen für die Gewölbefstärke ergeben kann. Sowohl die Richtung, wie die Größe und die Lage der auf die einzelnen Fugen wirkenden Resultirenden ist unbekannt; bekannt sind nur die Grenzen, zwischen denen die Größe und Lage sich bewegen darf, wenn kein Kanten und Zerdrücken, ihre Richtung liegen muß, wenn kein Gleiten stattfinden soll. Will man demnach nicht die Elasticitätstheorie zu Grunde legen, was sich bei den einfachen Fällen des Hochbaues nicht als nöthig erweist, so dürfte sich das folgende Verfahren für die praktische Stabilitätsbestimmung der Gewölbe empfehlen.

Man nimmt zuerst nach empirischen Formeln der Erfahrung entsprechende Werthe für die Gewölbefstärke an, und verzeichnet danach das Gewölbe. Alsdann ermittelt man überschläglich  $H_{max}$  und  $P_{max}$  und daraus  $c = \frac{2 P_{max}}{3 K}$ , zieht zwei Curven in den Abständen  $c$  von den Laibungen und constrürt zwischen denselben die Minimal- und die Maximalstützlinie. Fallen diese beiden Curven nicht zusammen und ergibt sich zwischen den Werthen des Horizontalstoches, welche den beiden Stützlinien entsprechen, eine nicht zu geringe Differenz, so ist das Gewölbe gegen Kanten und Zerdrücken stabil. Schließlich ist noch zu untersuchen, ob auch die Tangenten an die Stützlinien nicht an irgend einer Stelle einen größeren Winkel mit der Fugennormalen bilden, als den Reibungswinkel, in welchem Falle die Maximal-, bezw. Minimalstützlinie, wie in Art. 482, S. 452 angegeben, zu rectificiren ist. Um für  $c$  einen jedenfalls ausreichenden Werth zu erhalten, nehme man ein möglichst großes  $P$  an; man erhält ein solches, indem man den Horizontalstoch für eine Stützlinie berechnet, die durch den unteren Punkt der Scheitelfuge und die oberen Punkte der Kämpferfugen geht, und dieses  $H$  mit der Belastung der einen Gewölbehälfte zu einer Resultirenden  $P$  vereint. Das so ermittelte  $P$  ist größer, als es je werden kann, also der unter Zugrundelegung dieses  $P$  ermittelte Werth für  $c$  keinesfalls zu klein.

Fig. 357.



483.  
Graphische  
Untersuchung  
der  
Stabilität.

### 3. Kapitel.

#### Kreuz- und Kuppelgewölbe.

##### a) Kreuzgewölbe.

Die Einwölbung erfolgt beim Kreuzgewölbe bekanntlich entweder so, daß die Lagerfugen parallel zu den Längsachsen der einzelnen Kappen laufen, aus denen das Kreuzgewölbe besteht, oder auf den Schwalbenschwanz, d. h. im Grundriß normal oder nahezu normal zu den Graten. Das statische Verhalten ist bei den beiden Anordnungen verschieden<sup>172)</sup>.

484.  
Lagerfugen.

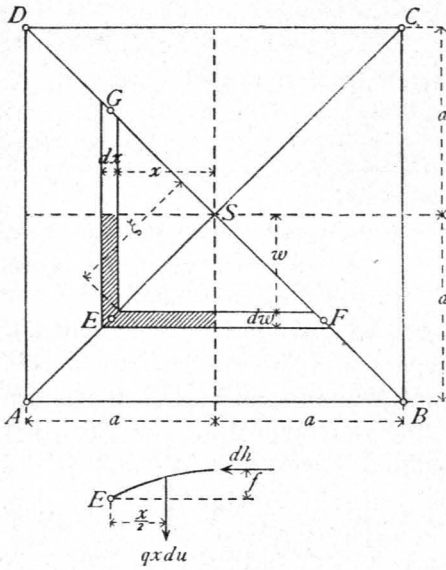
##### 1) Die Lagerfugen laufen zu den Längsachsen der Kappen parallel.

Bei den hier vorzunehmenden Berechnungen soll die vereinfachende, mit der Wirklichkeit genügend genau übereinstimmende Annahme einer über die Horizontal-

485.  
Berechnung.

<sup>172)</sup> Wegen Raummangels soll hier nur das Kreuzgewölbe über quadratischem Raum behandelt werden; die Erweiterung der gefundenen Resultate für den oblongen und vieleckigen Raum ist nicht schwierig.

Fig. 358.



projection gleichmäßig vertheilten Belastung  $q$  pro Flächeneinheit gemacht werden. Für die Ermittlung der Seilcurve werden wir hier stets drei Punkte annehmen. Alle Bedingungen, welche für die Lage der Stützlinie im vorigen Kapitel entwickelt sind, gelten natürlich auch hier. Die zu berechnenden Horizontalschübe sind also nur dann richtig, wenn die angenommenen drei Punkte richtig sind. An der Hand der nachfolgenden Untersuchungen können dann leicht die Maxima und Minima der Horizontalschübe ermittelt werden.

Wir zerlegen jede Kappe durch normal zur Längsaxe gelegte Verticalebenen in einzelne Streifen, welche im Grundriss Paralleltrapeze bilden und betrachten einen solchen Streifen  $EF$  (Fig. 358) von der Breite  $dw$  im Abstände  $w$  vom Centrum  $S$ . Die Belastung des Streifens pro Längeneinheit beträgt  $q dw$  und der Horizontalschub, welcher einer Pfeilhöhe  $f$  der Seilcurve entspricht, ist

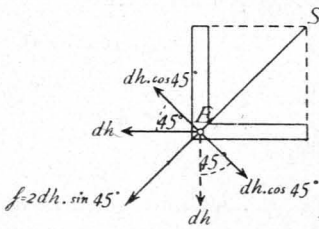
Die Belastung des Streifens pro Längeneinheit beträgt  $q dw$  und der Horizontalschub, welcher einer Pfeilhöhe  $f$  der Seilcurve entspricht, ist

$$dh = \frac{q x^2 dw}{2f}$$

Da  $x = w$  ist, so ist auch  $dw = dx$  und  $dh = \frac{q x^2 dx}{2f}$ .

Der Punkt  $E$  repräsentirt den Kämpferpunkt für den Bogen  $EF$  und den Bogen  $EG$ ; die in diesem Punkte auf den als Widerlager wirkenden Gratbogen von jedem der beiden Nachbarbogen übertragene Kraft hat eine horizontale Komponente  $dh$  und eine verticale Komponente  $dv = qx dw = qx dx$ .

Fig. 359.



Die verticalen Componenten der beiden Kämpferdrücke addiren sich zu einer in  $E$  auf den Gratbogen wirkenden Vertikalkraft  $v = 2 dv = 2 qx dx$ ; die horizontalen Componenten  $dh$  zerlegen sich nach Fig. 359 in je eine Seitenkraft, welche in die Richtung der Diagonale  $AC$  fällt, und in je eine normal zu dieser Richtung wirkende Seitenkraft. Letztere

beiden heben einander auf; die beiden ersteren addiren sich zu

$$H = 2 dh \sin 45^\circ = \frac{q x^2 dx}{2f} 2 \sin 45^\circ = \frac{q x^2 dx}{f \sqrt{2}} \dots 368.$$

Wenn als Bogenmittellinie für alle Kappenstreifen dieselbe Curve gewählt wird, so sind für alle Streifen die Gleichgewichtsbedingungen dieselben, und es genügt die Nachweisung der Stabilität in dem äußersten, am weitesten gespannten Streifen. Diese Nachweisung ist in gleicher Weise vorzunehmen, wie bei den Kappengewölben gezeigt ist. Von besonderem Interesse ist hier das Verhalten der Grate, welche als Widerlager für die Kappen dienen.

In den einzelnen Punkten  $E$  wirken auf die Grate Vertical- und Horizontalkräfte. Die Verticalkräfte  $v = 2q x dx$  sind gleich dem Gewichte der Hälfte beider Nachbarstreifen, d. h. der in Fig. 358 schraffirten Fläche. Die gesammte auf den Eckpunkt  $A$  Seitens des Kreuzgewölbes  $ABCD$  übertragene Verticalkraft ist demnach

$$V = \sum_0^a (v) = \int_0^a 2q x dx = qa^2, \dots \dots \dots 369.$$

d. h. gleich dem Gewichte des Viertels der Grundfläche.

Die auf den Eckpunkt  $A$  übertragene Horizontalkraft setzt sich aus zwei Theilen zusammen. Der erste Theil ist die Summe der einzelnen  $h$ , welche in der

Strecke  $SA$  wirken; nennt man diesen Theil  $\mathfrak{H}_1$ , so ist  $\mathfrak{H}_1 = \int_{x=0}^{x=a} \frac{q x^2 dx}{f \sqrt{2}}$ . In diesem

Integral ist  $f$  variabel. Die den einzelnen Streifen entsprechenden Seilcurven sind, weil die Belastung gleichmäÙig über die Horizontalprojection vertheilt ist, Parabeln, und man kann annehmen, daÙ in allen Streifen dieselbe Seilcurve stattfindet. Dann

ist, wenn  $C$  eine noch zu bestimmende Constante ist,  $x^2 = Cf$ , also  $f = \frac{x^2}{C}$ , und

$h = \frac{Cq x^2 dx}{x^2 \sqrt{2}} = \frac{Cq dx}{\sqrt{2}}$ , d. h.  $h$  ist für alle Streifen constant. Wird die Pfeilhöhe der Seilcurve im äußersten Streifen  $c$  genannt, so ist  $a^2 = Cc$ ,  $C = \frac{a^2}{c}$ ,

$$h = \frac{qa^2 dx}{c \sqrt{2}} \quad \text{und} \quad \mathfrak{H}_1 = \frac{qa^2}{c \sqrt{2}} \int_0^a dx = \frac{qa^3}{c \sqrt{2}} \dots \dots 370.$$

Der zweite Theil der Horizontalkraft ist diejenige Horizontalspannung  $\mathfrak{H}_2$ , die im Scheitel durch die verticalen Belastungen erzeugt wird. Man erhält dieselbe durch Aufstellung der Gleichung der statischen Momente für den Kämpferpunkt  $\mathcal{F}$  der Seilcurve im Gratbogen. Wenn dieser Punkt um  $e$  höher liegt, als der Punkt  $L$ , in welchem die beiden zu den äußersten Streifen gehörigen Seilcurven sich auf dem Gratbogen treffen, so heißt die Gleichung der statischen Momente (Fig. 360):

$$0 = \mathfrak{H}_2 (c - e) + \int h (c - f - e) - \int v \eta.$$

Die Resultirende aller Verticallasten ist gleich  $qa^2$ ; die verticalen Belastungen wachsen von  $S$  bis  $A$  entsprechend den Ordinaten einer Geraden, da die Belastung

$v = 2q x dx = 2q \frac{\xi}{\sqrt{2}} \frac{d\xi}{\sqrt{2}} = q\xi d\xi$ , also pro Längeneinheit  $v' = \frac{v}{d\xi} = q\xi$  ist.

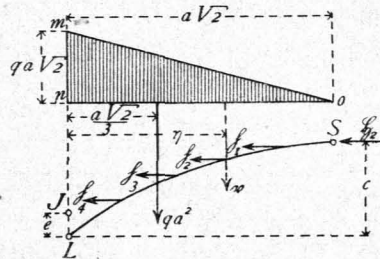
Für  $\xi = 0$  ist  $v' = 0$ ; für  $\xi = a\sqrt{2}$  ist  $v' = qa\sqrt{2}$ . Das Dreieck  $mno$  giebt diese Lastvertheilung an. Demnach ist

$$\int v \eta = \frac{qa\sqrt{2} a\sqrt{2}}{2} \frac{a\sqrt{2}}{3} = \frac{qa^3 \sqrt{2}}{3}.$$

Wird ferner für  $h$  der Werth aus Gleichung 368. eingeführt, so ergibt sich

$$0 = \mathfrak{H}_2 (c - e) + \frac{q}{\sqrt{2}} \int_0^a \frac{x^2 dx}{f} (c - f - e) - \frac{qa^3 \sqrt{2}}{3}.$$

Fig. 360.



Es ist  $f = \frac{x^2}{C} = \frac{x^2}{a^2} c$ . Durch Einsetzung dieses Werthes in das Integral und einfache Reductionen erhält man

$$\mathfrak{S}_2 = \frac{q a^3}{\sqrt{2}} \frac{e}{c(c-e)} \dots \dots \dots 371.$$

Für  $e = 0$ , d. h. wenn die Seilcurve durch den Punkt  $L$  gehen soll, wird  $\mathfrak{S}_2 = 0$ . Die gefammte Horizontalkraft, welche auf den Eckpfeiler übertragen wird, ist also

$$H = \mathfrak{S}_1 + \mathfrak{S}_2 = \frac{q a^3}{c \sqrt{2}} \left( 1 + \frac{e}{c-e} \right) = \frac{q a^3}{(c-e) \sqrt{2}} \dots \dots \dots 372.$$

Für  $e = 0$  ist  $H' = \frac{q a^3}{c \sqrt{2}} = \mathfrak{S}_1$ .

Da die Pfeilhöhe  $c - e$  der Seilcurve innerhalb gewisser Grenzen angenommen werden kann, so erhält man je nach der Wahl derselben verschiedene Werthe für  $H$ , und es ergibt sich in früher gezeigter Weise ohne Schwierigkeit  $H_{max}$  und  $H_{min}$  für den Grat.

Die graphische Untersuchung der Stabilitätsverhältnisse eines Kreuzgewölbes kann in nachstehender Weise geschehen.

Wir zerlegen die Kappen (Fig. 362) durch normal zu den Gewölbeaxen stehende Verticalebenen in eine Anzahl gleich breiter Streifen  $AE, F, B, E, E, F, F, E, E, F, F, \dots$  und ermitteln für die im Grundriss punktirten Schwerlinien dieser Streifen  $\mathfrak{F}_1, K_1, \mathfrak{F}_2, K_2, \dots$  die Seilcurven, unter Annahme je dreier Punkte für dieselben. Die Belastungsfläche möge (nach Fig. 361) unten durch die innere Laibungsfläche, oben durch eine geneigte gerade Linie begrenzt sein. Wenn alle Streifen gleiche Bogenform haben, so ergibt die Construction der Seilcurve, bzw. des Resultantenpolygons für den am weitesten gespannten Streifen mit der Schwerlinie  $\mathfrak{F}_1, K_1$ , zugleich die Seilcurven für die übrigen Streifen. Wir ermitteln demnach die Seilcurve für  $\mathfrak{F}_1, K_1$  und legen dabei, wie auch bei den anderen Streifen, statt der trapezförmigen die punktirte rechteckige Form zu Grunde. Bei der Eintheilung der Belastungsfläche in Lamellen empfiehlt es sich, die Lamellenbreiten nach den Abfätzen in den Punkten  $\mathfrak{F}_1, \mathfrak{F}_2, \dots$  zu bemessen; alsdann wird, wenn  $SIIIIV\mathfrak{F}_1$  (Fig. 361) die Seilcurve für  $\mathfrak{F}_1, K_1$  ist,  $SIIIIV\mathfrak{F}_2$  diejenige für  $\mathfrak{F}_2, K_2$ ,  $SIII\mathfrak{F}_3$  diejenige für  $\mathfrak{F}_3, K_3$ ,  $SII\mathfrak{F}_4$  diejenige für  $\mathfrak{F}_4, K_4$ . Man sieht leicht, dass auch der Horizontalschub bei diesen Annahmen in allen Streifen gleich groß ist. Die in den Punkten  $\mathfrak{F}_1, \mathfrak{F}_2, \mathfrak{F}_3, \mathfrak{F}_4$  von der Kappe  $ASB$  auf den Grat übertragenen Kräfte werden somit nach Größe und Richtung durch die Strahlen  $O\beta, O\gamma, O\delta, O\varepsilon$  des Kraftpolygons der Fig. 362 dargestellt, falls  $\alpha\beta = 1, \beta\gamma = 2, \gamma\delta = 3, \delta\varepsilon = 4$  ist. Genau eben so große Kräfte werden — bei quadratischem Kreuzgewölbe — von den Streifen der Kappe  $ASD$  auf den Grat übertragen. Wir setzen zunächst die in den einzelnen Punkten  $\mathfrak{F}$  wirkenden Verticalkräfte, dann die eben daselbst wirkenden Horizontalkräfte zusammen und vereinigen darauf beide zu je einer Resultirenden. Die ganze Verticalkraft in  $\mathfrak{F}$  ist  $2\alpha\beta$ , in  $\mathfrak{F}_1$ :  $2\alpha\gamma \dots$ ; die Horizontalkraft in allen Punkten  $\mathfrak{F}$  fällt im Grundriss in die Diagonalrichtung und ist gleich  $\sqrt{2}H^2 = H\sqrt{2}$ . Dieselbe wird nach Größe und Richtung erhalten, indem man  $OO_1 = H$  normal zu  $O\alpha$  abträgt und  $O_1\alpha$  zieht. Man mache nun  $\alpha\zeta = 2\alpha\beta$ ; alsdann ist  $O_1\zeta$  nach Größe und Richtung die Resultirende der im Punkte  $\mathfrak{F}$  auf den Grat wirkenden Kräfte. In gleicher Weise ergeben sich  $O_1\eta, O_1\theta$  und  $O_1\kappa$  als Resultirende in den Punkten  $\mathfrak{F}_1, \mathfrak{F}_2, \mathfrak{F}_3$ . Es sind nun die im Grat wirkenden Kräfte und die Seilcurve für den Grat zu ermitteln. Die Kräfte  $r_1 = O_1\zeta, r_2 = O_1\eta, r_3 = O_1\theta$  und  $r_4 = O_1\kappa$  wirken in den Punkten  $\mathfrak{F}', \mathfrak{F}'_1, \mathfrak{F}'_2, \mathfrak{F}'_3$  (Fig. 362); die Resultirende derselben  $R$  wird nach Größe, Richtung und Lage mittels des Kraftpolygons  $O_1abcd$  (in welchem die Kräfte in vierfach verkleinertem Maßstabe aufgetragen sind) und des für einen beliebigen Pol  $P$  construirten Seilpolygons  $m, m, m, m, m, m, m, m$  erhalten. Dieselbe ist gleich und parallel  $O_1d$  und geht durch den Punkt  $g$ .

486.  
Graphische  
Ermittelung.

Fig. 361.

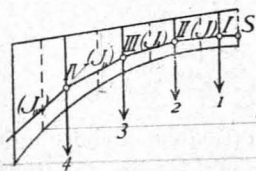


Fig. 362.

Soll nun die Seilcurve für den Gratbogen durch die beiden Punkte  $S'$  und  $N$  gehen und in  $S'$  eine horizontale Tangente haben, so ergibt sich die Gröfse der in  $S'$  wirkenden Kraft  $\mathfrak{S}$  aus der Bedingung, dafs die Resultirende aller auf die eine Hälfte wirkenden Kräfte durch  $N$  geht, für  $N$  als Drehpunkt also kein statisches Moment hat. Die Bedingungsgleichung heifst demnach

$$0 = \mathfrak{S}_0 f - R e,$$

woraus

$$\mathfrak{S}_0 = \frac{R e}{f}.$$

Um  $\mathfrak{S}_0$  zu construiren, mache man in Fig. 362 auf der über  $O$ , verlängerten Horizontalen  $\alpha O$ ,  $O, i = e$  und auf der Richtungslinie von  $R$ :  $O, k = f$ , ziehe  $k i$  und durch den Endpunkt  $d$  von  $R$  eine Parallele zu  $k i$ , bis sie die Horizontale  $\alpha O$ , in  $Q$  schneidet; alsdann ist

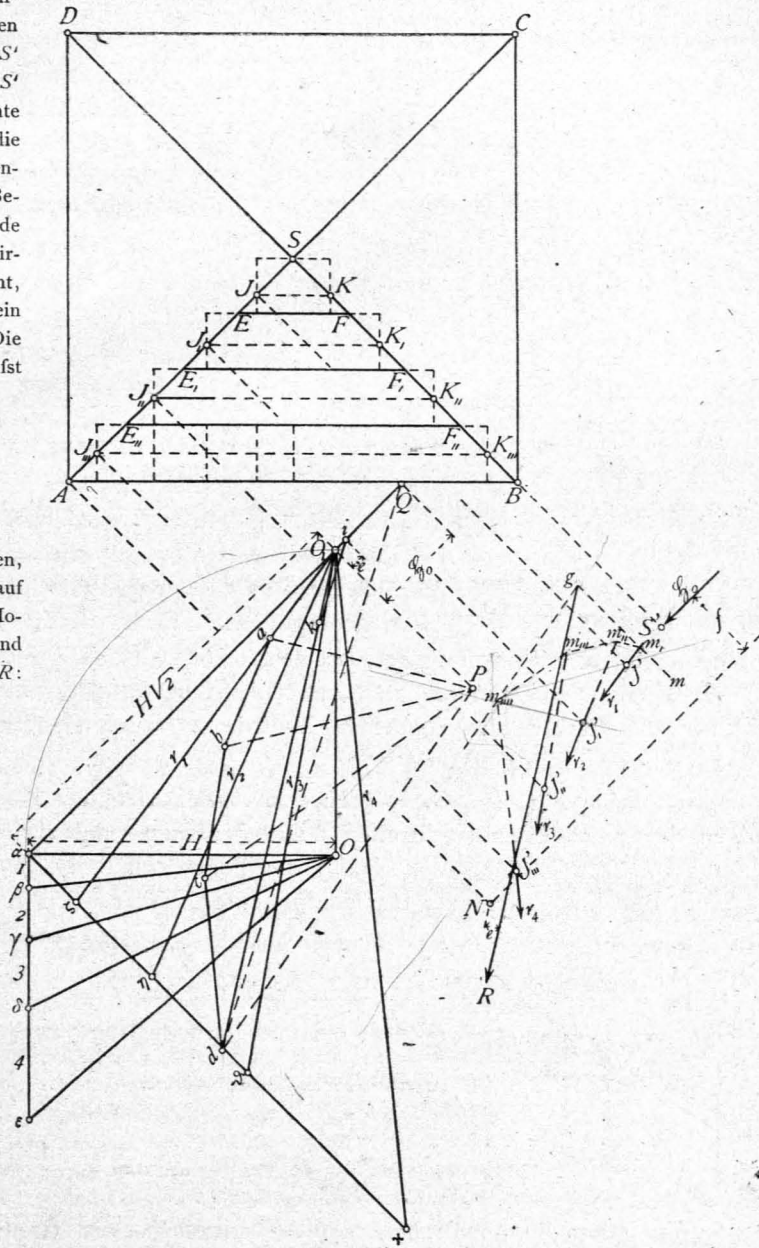
$$\frac{O, i}{O, k} = \frac{O, Q}{O, d},$$

d. h.  $\frac{e}{f} = \frac{O, Q}{R}$

und

$$O, Q = \frac{R e}{f} = \mathfrak{S}_0.$$

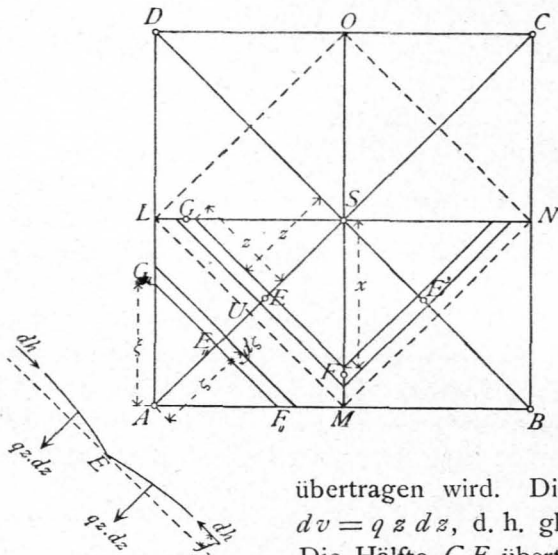
Nun kann man leicht  $\mathfrak{S}_0$  der Reihe nach mit  $r_1, r_2, r_3, r_4$  zusammensetzen und die Seilcurve für den Gratbogen erhalten.



2) Die Lagerfugen sind im Grundriss normal zu den Graten.

Wir denken uns das Gewölbe (Fig. 363) durch Verticalebenen, welche im Grundriss normal zu den Graten gerichtet sind, in Streifen zerlegt; dann besteht jeder Streifen aus zwei Hälften, welche sich im Grat treffen. Für jede Hälfte bildet der Grat das eine Widerlager; das andere Widerlager wird bei den innerhalb des Viereckes  $LMNO$  liegenden Streifen durch den entsprechenden Streifen des benachbarten Gewölbviertels gebildet (beim Streifen  $EF$  durch  $FE'$ ), bei den ausserhalb  $LMNO$  liegenden Streifen durch die Gurtbogen bei  $AB, BC \dots$

Fig. 363.



Wir nehmen wiederum gleichmäÙig über die Horizontalprojection vertheilte Belastung  $q$  pro Flächeneinheit an und betrachten zunächst den Streifen  $G E F$ . Die Pfeilhöhe, welche sich unter Annahme dreier Punkte für die Seilcurve ergibt, sei  $f$ ; alsdann wird der Horizontal Schub im Scheitel (Fig. 363)  $dh = \frac{q dz \cdot z^2}{2f}$ .

Dieselbe GröÙe hat auch die Horizontalcomponente der Kraft, welche im Punkte  $E$  von der Streifenhälfte  $E F$  auf den Grat

übertragen wird. Die Verticalcomponente dieser Kraft ist  $dv = qz dz$ , d. h. gleich dem Gewichte des Streifens  $E F$ . Die Hälfte  $G E$  überträgt auf den Gratbogen im Punkte  $E$  eine Resultirende, deren Verticalcomponente ebenfalls

$dv = qz dz$  ist, deren Horizontalcomponente gleiche GröÙe und Richtung, aber entgegengesetzten Sinn hat, wie diejenige von  $E F$ . Die beiden Horizontalcomponenten heben einander auf, und es verbleibt als Totalresultirende die Verticalkraft  $v = 2qz dz$ . Bei der angegebenen Construction werden demnach die Grate nur durch verticale Kräfte belastet.

Im Punkte  $F$  (Fig. 364) wirken nun zwei horizontale Kräfte  $dh$  in den Richtungen der anschließenden Streifen. Die beiden normal zur Längsaxe der Kappe gerichteten Componenten der Kräfte  $dh$  heben einander auf; die beiden in die Richtung der Längsaxe fallenden Componenten addiren sich zu einer Kraft

$$dh = 2 dh \sin 45^\circ = dh \sqrt{2}.$$

Setzt man nunmehr für  $dh$  den eben gefundenen Werth ein und berücksichtigt man, daß  $x = z\sqrt{2}$  oder  $z = \frac{x}{\sqrt{2}}$ , daher  $dz = \frac{dx}{\sqrt{2}}$  ist, so erhält man

$$dh = \frac{q x^2 dx}{4f} \dots \dots \dots 373.$$

Von jedem Doppeltstreifen  $E F E'$  innerhalb der Grenzen  $x=0$  bis  $x=a$  wird eine Horizontalkraft  $dh$  auf den Scheitel des Gurtbogens ausgeübt. Die Gesamtwirkung ist also eine im Scheitel wirkende Horizontalkraft  $\mathfrak{H} = \int_0^a \frac{q x^2 dx}{4f}$ .

$f$  ist variabel und unter gleichen Annahmen, wie früher, ist  $z^2 = Cf$ , fonach  $f = \frac{z^2}{C} = \frac{x^2}{2C}$ . Für  $z = \frac{a\sqrt{2}}{2}$  sei  $f = F$ ; alsdann ist  $\frac{a^2}{2} = CF$ ,  $C = \frac{a^2}{2F}$  und  $f = \frac{x^2 F}{a^2}$ , mithin

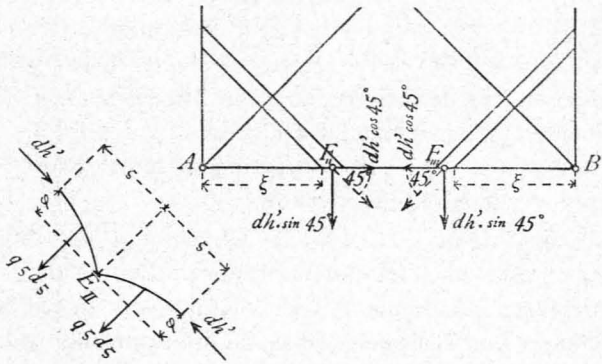
$$\S = \int_0^a \frac{q x^2 a^2 dx}{4 F x^2} = \frac{q a^3}{4 F} \dots \dots \dots 374.$$

Wir wenden uns jetzt zu einem Streifen  $G,, E,, F,,$  (Fig. 363) auferhalb des Viereckes  $LMNO$ ; dabei wird die Annahme gemacht, dafs in den Streifenhalfen, welche hier halbe Spitzbogen bilden, eine Gleichgewichtcurve (Seilcurve) moglich ist, bei welcher im Scheitel nur eine Horizontalkraft  $dh'$  wirkt. Die beiden auf den Grat in  $E''$  (Fig. 365) ubertragenen Horizontalkrafte, die je  $dh' = \frac{q \xi^2 d\xi}{2 \varphi}$  find, heben einander auf; demnach ist die in  $E''$  ubertragene Resultirende die Vertikalkraft  $v = 2 q \xi d\xi$ .

$v$  ist wiederum gleich dem Gewichte des anschliessenden Streifens  $G,, E,, F,,$ ; dasselbe ist aber genau so grofs, wie das Gewicht des um  $z = \xi$  von der Mitte entfernten Streifens, woraus folgt, dafs die Gratbogenbelastung von  $S$  aus nach  $A$  zunachst entsprechend den Ordinaten einer Geraden, nach dem Gesetze  $y = 2 q z$ , bis zum Punkt  $U$  zunimmt und von  $U$  bis  $A$  nach demselben Gesetze wieder bis zu Null abnimmt.

Im Punkte  $F,,$  wirkt (Fig. 365) die Kraft  $dh' = \frac{q \xi^2 d\xi}{2 \varphi}$  auf den Gurtbogen unter 45 Grad mit der Richtung  $AB$  und zerlegt sich in eine Componente  $dh' \cos 45^\circ$ , welche in die Richtung  $AB$  fallt, und in eine normal dazu gerichtete Componente  $dh' \sin 45^\circ$ . Die erstere wird durch eine gleich grofse, entgegengesetzt gerichtete Componente im fymmetrisch

Fig. 365.



zur Mitte liegenden Punkt  $F,,$ , aufgehoben. Die letztere ist  $dh' \sin 45^\circ = \frac{q \xi^2 d\xi}{2 \sqrt{2} \varphi}$ ;

da  $\xi = \frac{\xi}{\sqrt{2}}$  ist, so wird

$$dh' \sin 45^\circ = \frac{q \xi^2 d\xi}{8 \varphi} \dots \dots \dots 375.$$

Seitens des Kreuzgewolbes werden also auf den Gurtbogen  $AB$  keine verticalen, sondern nur horizontale Krafte ubertragen: im Scheitel die Einzelkraft  $\frac{q a^3}{4 F}$  und auferdem pro laufende Einheit der Horizontalprojection die Kraft  $\frac{q \xi^2}{8 \varphi}$ . Dieselben werden entweder durch gleiche entgegengesetzt gerichtete, vom Nachbargewolbe ausgehende Krafte aufgehoben, oder der Gurtbogen ist mit einer Mauer in Verbindung zu setzen, welche im Stande ist, die Krafte aufzunehmen.

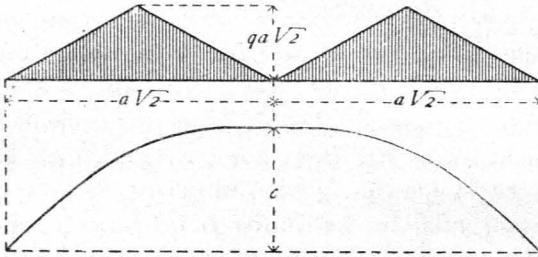
Was den Gratbogen anlangt, so ist die Belastung desselben nach Vorstehendem in Fig. 366 graphisch dargestellt. Nimmt man drei Punkte fur den Verlauf der Seilcurve an und bezeichnet die Pfeilhohe der durch dieselben bestimmten Curve mit  $c$ , so ist der im Gurtbogen wirkende Horizontalschub

$$H = \frac{1}{c} \frac{q a \sqrt{2} a \sqrt{2}}{2} \cdot \frac{a \sqrt{2}}{2} = \frac{q a^3}{c \sqrt{2}} \dots \dots \dots 376.$$

488.  
Graphische  
Ermittlung.

Die Construction der Seilcurven für die einzelnen Theile der Kappen ist so einfach, dafs dieselbe nicht besonders gezeigt zu werden braucht; wir werden nur die Ermittlung der Seilcurve für den Gratbogen zeigen.

Fig. 366.



Wir zerlegen jedes Gewölbeviertel (Fig. 367) in eine Anzahl Lamellen, welche im Grundriss trapezförmig, bezw. dreieckig sind, und ermitteln die diesen Lamellen entsprechenden Gewichte; dieselben sind die Kräfte, welche den Gratbogen vertical belasten und zwar wirken sie (1, 2, 3, 4, 5, 6 in Fig. 367) in den Schwerlinien der einzelnen Lamellen. Unter Annahme dreier Punkte für die Seilcurve des Gratbogens, bezw. zweier Punkte und der horizontalen

Tangente im Scheitel für eine Hälfte wird nun die Seilcurve in der Weise construct, die in Art. 476, S. 444 näher angegeben ist. Für den Pol *O* und die beiden gegebenen Punkte *S* und *A* ergibt sich in

Fig. 367.

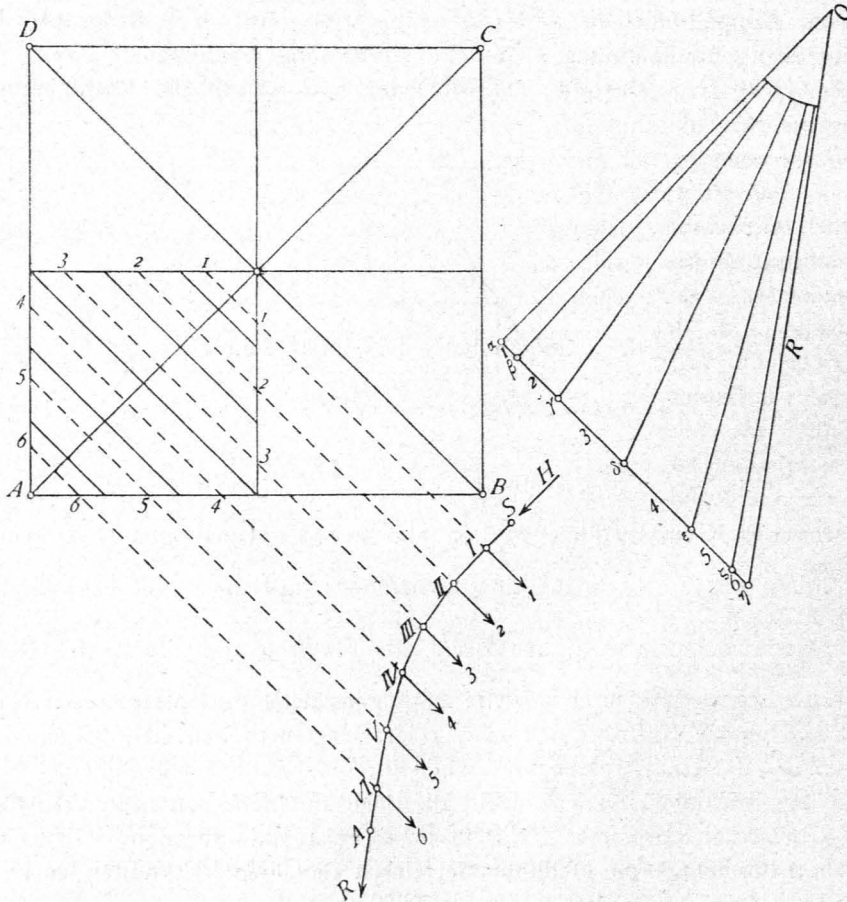


Fig. 367 das Refutantenpolygon  $S I I I I I V V I A$ , woraus nun leicht die entsprechende Stützlinie zu finden ist.

Die auf die Gurtbogen übertragenen Horizontalkräfte ergeben sich leicht, wenn für die einzelnen Streifen die Seilcurven construirt werden.

**b) Kuppelgewölbe.**

Die Kuppelfläche entsteht durch Rotation einer ebenen Curve um eine Verticalaxe. Wir ermitteln in den folgenden Untersuchungen die im Inneren des Kuppelgewölbes auftretenden Kräfte unter der Annahme einer ruhenden und derartig vertheilten Belastung, daß dieselbe sich über jeden ganzen, durch zwei Parallelkreise begrenzten Ring gleichmäÙig vertheile. Setzen wir ferner die Gewölbestärke gering im Vergleich zu den Krümmungsradien, so können wir annehmen, daß die auf ein beliebiges Kuppeltheilchen  $MNOP$  (Fig. 368), welches oben und unten durch zwei Parallelkreise, rechts und links durch zwei Meridiane der Kuppel begrenzt ist, wirkenden inneren Kräfte tangential zu der Kuppelfläche gerichtet sind. Indem wir alsdann für irgend eine Rotationsfläche die unter obigen Annahmen aufgestellten Gleichgewichtsbedingungen anwenden, erhalten wir die inneren Spannungen, welche der angenommenen Fläche als Gleichgewichtsfläche entsprechen.

Wir legen den Anfangspunkt der Coordinaten (Fig. 369) in den Scheitel der Kuppel, wählen die verticale Axe als  $Y$ -Axe, eine im Scheitel  $S$  normal zu ersterer errichtete Axe als  $X$ -Axe und untersuchen den Gleichgewichtszustand des oben beschriebenen Kuppeltheilchens  $MNOP$  (Fig. 368). Auf  $MN$  wirke pro Längeneinheit die Tangentialspannung  $T$ , also auf  $x d\omega$  Längeneinheiten  $T x d\omega$ . Auf  $OP$  wirkt  $(T + dT)(x + dx) d\omega$ ; auf  $MP$  und  $NO$  wirken die Ringspannungen  $R$  pro Längeneinheit, also pro  $ds$  Längeneinheiten je  $R ds$ . Außerdem wirkt noch die variable Belastung  $p$  pro Flächeneinheit der Kuppelfläche, d. h. auf  $MNOP$  die Last  $p ds x d\omega$ . Um sämtliche Kräfte in einer Ebene zu erhalten, ermitteln wir die Resultierende der beiden Ringspannungen  $R ds$ ; sie ist  $\mathfrak{S} = 2 R ds \sin \frac{d\omega}{2}$ , und da wegen der Kleinheit von  $\frac{d\omega}{2}$  statt-

findet:  $\sin \frac{d\omega}{2} = \frac{d\omega}{2}$ , so wird

$$\mathfrak{S} = R ds d\omega \dots \dots \dots 377.$$

Die Aufstellung der allgemeinen Gleichgewichtsbedingungen für  $MNOP$  ergibt

489.  
Voraussetzungen.

490.  
Allgemeine Gleichgewichtsbedingungen.

Fig. 368.

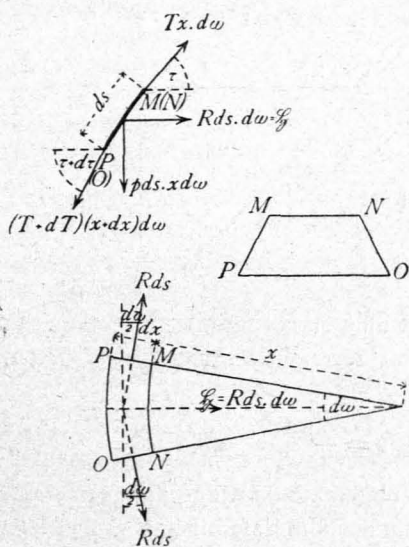
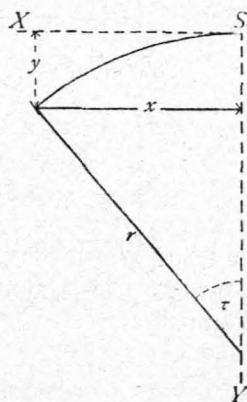


Fig. 369.



$$0 = Tx d\omega \cos \tau - (T + dT)(x + dx) d\omega \cos(\tau + d\tau) + R ds d\omega.$$

Führt man die Multiplication durch und läßt die unendlich kleinen Glieder zweiter und dritter Ordnung fort, so bleibt

$$0 = Tx \sin \tau d\tau - dTx \cos \tau - T dx \cdot \cos \tau + R ds = -d(Td \cos \tau) + R ds; \\ R ds = d(Tx \cos \tau) \dots \dots \dots 378.$$

Ferner ist

$$0 = p ds \cdot x d\omega - Tx d\omega \sin \tau + (T + dT)(x + dT) d\omega \sin(\tau + d\tau) \\ \sin(\tau + d\tau) = \sin \tau + \cos \tau d\tau.$$

Durch Ausmultipliciren und Fortlassen der unendlich kleinen Glieder zweiter und dritter Ordnung erhält man  $0 = px ds + d(Tx \sin \tau)$ , daher

$$-px ds = d(Tx \sin \tau) \dots \dots \dots 379.$$

Die beiden Gleichungen 378. und 379. geben Aufschluß über die Gröfse der gleichzeitigen Werthe von  $T$  und  $R$ , welche irgend welchen Belastungen und Curvenformen entsprechen.

491.  
Kugelförmige  
Kuppel.

Die erzeugende Curve ist bei der Kugelkuppel ein Kreis. Die bezüglichen Werthe von  $T$  und  $R$  werden erhalten, wenn in die Gleichungen 378. und 379. für  $x$  und  $ds$  die Werthe eingeführt werden, welche dem Kreise entsprechen. Nach Fig. 369 ist  $x = r \sin \tau$  und  $ds = r d\tau$ , mithin, wenn noch die Annahme gemacht wird, daß  $p$  für die ganze Kuppel constant ist,

$$-pr \sin \tau \cdot r d\tau = d(Tr \sin \tau \sin \tau) \text{ und } \int_0^\tau d(Tr \sin^2 \tau) = -pr^2 \int_0^\tau \sin \tau d\tau.$$

Als untere Grenze ist der Werth von  $\tau$  und  $T$  einzuführen, welcher dem oberen Endpunkte der Erzeugenden entspricht; hier ist dieser Endpunkt  $S$ , und es wird  $\tau_0 = 0$ ; demnach ist

$$Tr \sin^2 \tau = +pr^2 (\cos \tau)_0^\tau = -pr^2 (1 - \cos \tau), \\ T = -\frac{pr(1 - \cos \tau)}{\sin^2 \tau} = -\frac{pr(1 - \cos \tau)}{1 - \cos^2 \tau} = -\frac{pr}{1 + \cos \tau} \dots \dots 380.$$

Wird dieser Werth in die Gleichung 378. für  $R$  eingesetzt, so erhält man

$$Rds = Rr d\tau = d\left(-\frac{pr}{1 + \cos \tau} r \sin \tau \cos \tau\right) = -pr^2 d\frac{\sin \tau \cos \tau}{1 + \cos \tau}, \\ R = -pr \frac{\cos 2\tau + \cos^3 \tau}{(1 + \cos \tau)^2} \dots \dots \dots 381.$$

Die Werthe der Gleichungen 380. und 381. gelten für oben geschlossene Kugelkuppeln. Die Spannungen im Scheitel werden erhalten für  $\tau = 0$ . Für letzteren Werth ist

$$T_0 = -\frac{pr}{2} \text{ und } R_0 = -\frac{pr}{2}, \dots \dots \dots 382.$$

d. h. die Meridianspannungen und Ringspannungen sind pro Längeneinheit im Scheitel gleich groß; es findet also dafelbst nach allen Richtungen ein gleicher Druck  $\frac{pr}{2}$  statt.

492.  
Halbkugel-  
kuppel.

Für die Halbkugelkuppel ist am Aequator  $\tau = \frac{\pi}{2}$ , daher

$$T_{\frac{\pi}{2}} = -pr \text{ und } R_{\frac{\pi}{2}} = +pr \dots \dots \dots 383.$$

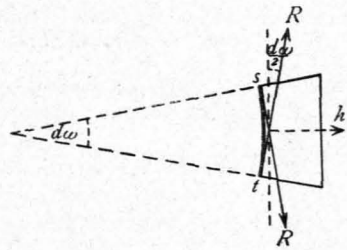
Die Meridianspannung nimmt also vom Scheitel nach dem Aequator von  $\frac{pr}{2}$  bis auf  $pr$  zu, bleibt aber stets Druck, da  $1 + \cos \tau$  nie negativ werden kann. Am Aequator ist  $T$  vertical gerichtet, da  $T$  gleiche Richtung mit der Tangente an die Erzeugende hat. Die Summe aller  $T_{\frac{\pi}{2}}$  ist gleich dem Gewichte der ganzen Kuppel, da die  $T_{\frac{\pi}{2}}$  die Auflager-Reactionen repräsentiren. Es ist  $\Sigma \left( T_{\frac{\pi}{2}} \right) = pr \cdot 2 r \pi = 2 pr^2 \pi$ ,

und das ganze Kuppelgewicht ist gleich  $\frac{4r^2\pi}{2} p = 2r^2p\pi$ . Die Ringspannung  $R$  geht vom Drucke  $\frac{pr}{2}$  im Scheitel zum Zug  $pr$  am Aequator über, demnach für irgend einen näher zu bestimmenden Winkel durch Null. Ist dieser Winkel  $\tau_1$ , so ist  $0 = pr \frac{\cos 2 \tau_1 + \cos^3 \tau_1}{(1 + \cos \tau_1)^2}$ , woraus sich ergibt

$$\cos \tau_1 = 0,618 \quad \text{und} \quad \tau_1 = 51^\circ 50' \dots \dots \dots 384.$$

In allen Ringen, deren zugehörige Winkel  $\tau$  kleiner als  $\tau_1$  sind, findet Druck, in den Ringen, deren Winkel  $\tau$  größer sind als  $\tau_1$ , findet Zug statt. Nimmt man auf die Zugfestigkeit des Mörtels keine Rücksicht, so können die einzelnen Theile des Ringes keinen Zug auf einander ausüben. Ohne solchen kann aber Gleichgewicht nicht stattfinden; es ist also ohne Hilfsconstruction das Gleichgewicht nicht vorhanden. Solche Hilfsconstructionen sind entweder umgelegte eiserne Ringe oder die Hintermauerung. Letztere leitet die auf den Kuppelring wirkenden Ringkräfte  $R$ ; auf dieselbe wirken also nach dem Princip von Wirkung und Gegenwirkung die Kräfte  $R$  in entgegengesetztem Sinne; dieselben sind bei Berechnung der Hintermauerung zu berücksichtigen. Betrachtet man ein Bogenstück  $st$  (Fig. 370), welches zum Winkel  $d\omega$  gehört, so ist die Resultirende der beiden  $R$  die nach außen gerichtete Kraft  $h$  gleich  $2R \sin \frac{d\omega}{2} = R d\omega$ .

Fig. 370.



Wir führen die abkürzende Bezeichnung ein:

$$\mu = - \frac{\cos 2 \tau + \cos^3 \tau}{(1 + \cos \tau)^2}, \dots \dots \dots 385.$$

alsdann wird

$$R = \mu pr \quad \text{und} \quad h = \mu pr d\omega \dots \dots \dots 386.$$

Pro Längeneinheit des  $x d\omega$  langen Bogens ist also die nach außen auf die Hintermauerung wirkende Horizontalkraft in Folge der Ringspannungen

$$\eta = \frac{\mu pr d\omega}{x d\omega} = \frac{\mu pr}{x} \dots \dots \dots 387.$$

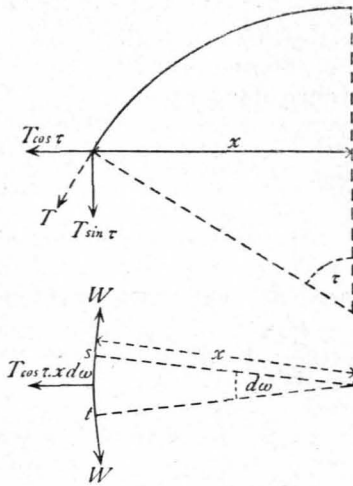
Aus Vorstehendem folgt noch, daß bei der Halbkugelkuppel die Hintermauerung wenigstens bis zu derjenigen Höhe hinaufreichen muß, welche dem Winkel  $\tau_1 = 51^\circ 50'$  entspricht.

Ist die Kuppel ein Kugelabschnitt, so wirken auf die Widerlager außer den eventuell vorhandenen Kräften  $\eta$  (nach Gleichung 387.) noch die Meridianspannungen  $T$ , welche dem größten zur Kuppel gehörigen Winkel  $\tau$  entsprechen.  $T$  hat eine horizontale Komponente  $T \cos \tau$  und eine verticale Komponente  $T \sin \tau$ . Die erstere wird durch die Widerlager oder durch einen eisernen Ring aufgehoben. Die Spannung in diesem Ringe ergibt sich dann wie folgt. Auf den Bogen  $st$  (Fig. 371) von der Länge  $x d\omega$  wirkt nach außen  $T \cos \tau x d\omega$ , und es soll diese Kraft durch die beiden Ringspannungen  $W$  aufgehoben werden; es ist demnach

$$T \cos \tau x d\omega = 2 W \sin \frac{d\omega}{2} = W d\omega;$$

$$W = T x \cos \tau = \frac{pr r \sin \tau \cos \tau}{1 + \cos \tau} = \frac{pr^2 \sin \tau \cos \tau}{1 + \cos \tau} \dots \dots \dots 388.$$

Fig. 371.



493.  
Graphische  
Ermittlung.

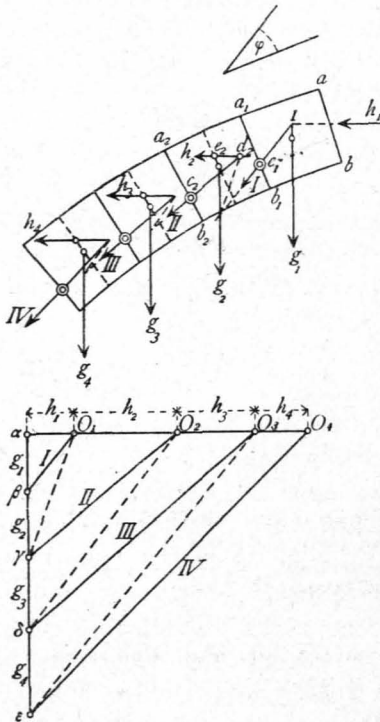
Die vorstehend entwickelten Werthe für  $T$  und  $R$  entsprechen den Gleichgewichtscurven. Man kann bei verhältnismässig geringer Stärke der Kuppel diese Werthe als genügend genaue Mittelwerthe annehmen; immerhin sind aber grössere und geringere Werthe denkbar, welche anderen in der Kuppel möglichen Seilcurven entsprechen, die nicht mit der Mittelfläche des Kuppelgewölbes zusammenfallen.

Die graphische Ermittlung der Werthe von  $T$  und  $R$  an den verschiedenen Stellen der Kuppel kann nun in analoger Weise durchgeführt werden, wie bei den anderen Gewölbarten gezeigt ist, indem man bestimmte Bedingungen für die Stützlinie vorschreibt. Man untersucht zu dem Zwecke den einem Centriwinkel  $\alpha$  entsprechenden

Kuppeltheil und geht dabei vom Scheitel, bezw. vom Laternenring aus.

Stellt man die Bedingung, dass die Stützlinie im inneren Drittel verbleiben soll und kein Gleiten stattfindet, so ergibt sich die Stützlinie folgender Massen (Fig. 372).

Fig. 372.



Die Belaftung des obersten Ringsteines sei  $g_1 (= \alpha \beta)$ ; alsdann wirken auf diesen Stein (Fig. 372)  $g_1$  und die vor der Hand unbekannte Resultante  $h_1$  der Spannungen im obersten Ringe. Der kleinste Werth von  $h_1$ , bei welchem die Stützlinie die gestellten Bedingungen erfüllt, ergibt sich, wenn die Resultirende  $I$  von  $g_1$  und  $h_1$  durch den untersten Punkt  $c_1$  des inneren Drittels der Fuge  $a_1 b_1$  geht und um einen Winkel  $\varphi$  von der Fugennormalen abweicht. Die durch  $c_1$  unter dem Winkel  $\varphi$  mit der Fugennormalen gelegte Linie schneide die Richtungslinie von  $g_1$  in  $I$ ; alsdann ist dieser Punkt auch der Angriffspunkt von  $h_1$ . Die Grösse von  $h_1$  und  $I$  ergibt das Kraftpolygon, wenn durch  $\beta$  eine Linie parallel zu der Richtungslinie von  $I$  gezogen wird. Man erhält  $O_1 \alpha = h_1$  und  $O_1 \beta = I$ . Wenn der Schnittpunkt von  $h_1$  mit der Fuge  $a b$  oberhalb des inneren Drittels liege, so würde man  $h_1$  bis zum oberen Endpunkt des inneren Drittels hinabzurücken haben und den sich alsdann ergebenden Schnittpunkt von  $h_1$  und  $g_1$  mit  $c_1$  verbinden, wobei der Winkel von  $I$  mit der Fugennormalen kleiner würde, als  $\varphi$ .

Auf den zweiten Stein wirken nun  $g_2$ ,  $I$  und  $h_2$ . Der kleinste Werth von  $h_2$ , welcher obigen Bedingungen entspricht, ist derjenige, bei welchem  $h_2$  durch den oberen Grenzpunkt des inneren Drittels der Steinschwerlinie, d. h. durch  $e_2$  geht, die Resultirende von  $I$ ,  $g_2$  und  $h_2$  aber die Fuge  $a_2 b_2$  im unteren Grenzpunkte  $c_2$  des inneren Drittels schneidet. Die Verbindungslinie von  $c_2$  mit  $d_2$ , dem Schnittpunkt der Resultirenden der Kräfte  $I$  und  $g_2$  mit  $h_2$ , ergibt die Richtung von  $II$ ; die Grösse von  $II$  erhält man durch Ziehen einer Parallelen  $\gamma O_2$  durch  $\gamma$  zur Richtungslinie von  $II$ .

Der Winkel, welchen  $II$  mit der Fugennormalen zu  $a_2 b_2$  einschließt, ist kleiner als  $\varphi$ , also die Construction brauchbar. Wäre der Winkel grösser als  $\varphi$ , so wäre  $h_2$  so weit hinabzurücken und zu vergrössern, bis der Winkel höchstens gleich  $\varphi$  ist. In dieser Weise erhält man durch Weiterconstruiren eine mögliche Stützlinie, welche auch mit der Wirklichkeit nahezu übereinstimmen dürfte.

## Literatur.

Bücher über »Statik der Gewölbe«.

- DIETLEIN, J. F. W. Beitrag zur Statik der Kreuzgewölbe. Halle 1823.  
 TELLKAMPF, H. Beitrag zur Gewölbetheorie. Frei nach CARVALLO. Hannover 1855.  
 SCHEFFLER, H. Theorie der Gewölbe, Futtermauern etc. Braunschweig 1857.  
 FABRE, V. *Théorie des voûtes élastiques et dilatables d'une application spéciale aux arcs métalliques.* Paris 1860.  
 HAGEN, G. Ueber Form und Stärke gewölbter Bogen. Berlin 1863.  
 HÄNEL, v. Zur Theorie der Tonnengewölbe. Stuttgart 1868.  
 FONTAINE, H. *Stabilité des constructions. Extrait de la notice sur la théorie des voûtes.* Befançon 1870.  
 ORTMANN, O. Die Statik der Gewölbe mit Rücksicht auf ihre Anwendung. Halle 1876.  
 FABIAN, W. Ueber Gewölbtheorien mit besonderer Berücksichtigung auf den Brückenbau. Leipzig 1876.  
 BONNIN, R. *Étude sur la stabilité des voûtes en maçonnerie.* Evreux 1876.  
 PERRODIL. *Résistance des voûtes et arcs métalliques.* Paris 1879.  
 GOBERT, J. B. *Nouvelles recherches sur la théorie des voûtes.* Paris 1879.  
 FÖEPL, A. Theorie der Gewölbe. Leipzig 1880.  
 DURAND-CLAYE, A. *Vérification de la stabilité des voûtes et des arcs; application aux voûtes sphériques.* Paris 1880.

## Berichtigungen.

- S. 50, Zeile 1 v. u.: Statt »BOSE« zu lesen: »BOSC«.  
 S. 97, » 20 v. o.: Statt »Pietro duro« zu lesen: »Pietra dura«.  
 S. 109, » 13 v. u. }  
 S. 110, » 21 v. o. } : Statt »E. March« zu lesen: »Ernst March Söhne«.  
 S. 113, » 3 v. o.: Statt »Erfcheint seit 1865« zu lesen: »1865—80«.  
 » 10 v. o.: Statt »Red. von H. Seger« zu lesen: »Red. v. H. Seeger u. J. Aron«.  
 S. 159, » 18 v. o.: Statt »calls« zu lesen: »walls«.  
 S. 164, » 3 v. u.: Statt »0,18 kg« zu lesen: »0,18 t«.  
 S. 165, » 3 v. o.: Statt »174« zu lesen: »104«.  
 S. 166, » 20 v. o.: Statt »0,26 kg« zu lesen: »0,26 t«.  
 » 16 v. u.: Hat »und« zu entfallen.  
 S. 167, » 16 v. o.: Statt »(6,748)« zu lesen: »(0,748)«,  
 S. 174, » 8 v. o.: Statt »unter« zu lesen: »von«.  
 S. 178, » 22 v. o. hat zu entfallen.  
 S. 192, » 5 v. u.: Statt »25« zu lesen: »28«.  
 S. 238, » 14 v. o.: Statt »K« zu lesen: »K<sub>1</sub>«.  
 S. 244, » 23 v. o.: Statt »die normal« zu lesen: »die geneigt oder normal«.  
 S. 251, » 7 v. u.: Statt »Gleichung 16.« zu lesen: »Gleichung 16a«.  
 S. 257, » 4 v. o.: Statt »eine normal« zu lesen: »eine geneigt oder normal«.  
 » 21 v. o.: Statt »Biegunsmoment« zu lesen: »Biegungs- oder Angriffsmoment«.  
 S. 265, » 11 v. o.: Statt »des Moment« zu lesen: »das Moment«.  
 S. 265, » 15 v. o.: Statt  $\frac{f}{a_2}$  zu lesen:  $\frac{f}{a_1}$ .  
 S. 279, » 6 v. o.: Statt »oberhalb YY« zu lesen: »oberhalb einer leicht zu ermittelnden, durch O gehenden Axe«.  
 S. 280, » 11 v. o.: Statt »P« zu lesen »R«.  
 S. 290, Fig. 118 links unten: Statt »V d x« zu lesen: »V d z«.  
 S. 424, » 320 rechts unten: Statt  $\frac{2x\kappa}{n}$  zu lesen:  $\frac{2x\pi}{n}$ .  
 S. 454, » 358 unten: Statt »q x d u« zu lesen: »q x d w«.